

مراحل تشکیل و تکوین کانسار سولفید توده‌ای غنی از طلا (و نقره) باریکا، خاور سردهشت، شمال باختر پهنه دگرگونه سنندج- سیرجان: براساس مطالعه ساخت، بافت و میکروترموتری سیالات در گیر

حسینعلی تاج الدین^۱، ابراهیم راستاد^۱، عبدالمجید یعقوب پور^۲، محمد محجّل^۱

۱- بخش زمین‌شناسی، دانشگاه تربیت مدرس، تهران

۲- گروه زمین‌شناسی، دانشگاه تربیت معلم، تهران

دریافت مقاله: ۱۳۸۸/۱۰/۲۷، نسخه نهایی: ۱۳۸۹/۲/۱۸

چکیده

کانسار سولفید توده‌ای غنی از طلا (و نقره) باریکا، در ۱۸ کیلومتری خاور سردهشت، در شمال باختر پهنه دگرگونه سنندج- سیرجان قرار دارد. واحدهای سنگی رخنمون یافته در محدوده باریکا، مجموعه‌ای از سنگهای آتشفسان- رسوبی زیردریایی دگرگون شده کرتاسه، شامل متاولکانیکهای آندزیتی، متاتوفیت، فیلیت و اسلیت می‌باشد. کانسار باریکا، از دو بخش کانسنس چینه‌سان و زون استرینگ تشکیل شده است که به طور کامل در واحد متاولکانیک آندزیتی K^{mv1} قرار گرفته‌اند. بخش چینه‌سان کانسار، مشکل از کانسنس‌های سولفیدی و باریتی همراه با بخش‌های فرعی از نوارهای سیلیسی است که به صورت توده‌ای و یا نوارهای موازی بر روی رگه‌های سیلیسی زون استرینگ، که کمرپایین بخش چینه‌سان را قطع کرده‌اند، قرار گرفته است. بخش چینه‌سان کانسار از نظر کانی‌شناسی تنوع زیادی داشته و از پیریت، اسفالریت، گالن، استیبنیت، مجموعه‌ای از سولفوسالت‌ها و طلا (کلتروم) تشکیل یافته است. کانی‌شناسی رگه‌های سیلیسی زون استرینگ ساده بوده و شامل پیریت، گالن، اسفالریت، تترائدریت و مقادیر نادر کالکوپیریت می‌باشد. هر دو بخش کانسنس چینه‌سان و زون استرینگ، در اثر عملکرد پهنه برشی باریکا به شدت دگرشکل شده‌اند. عیار متوسط طلا و نقره در بخش چینه‌سان کانسار به ترتیب $8/3$ و 420 گرم بر تن و در رگه‌های سیلیسی زون استرینگ به ترتیب $0/7$ و 32 گرم بر تن اندازه‌گیری شده است. عیار مجموع فلزات پایه در کانسار باریکا همواره کمتر از 1 درصد است.

مطالعات اخیر حاکی از آن است که کانسار سولفید توده‌ای باریکا، شکل ناقص و تکامل نیافته از یک کانسار سولفید توده‌ای نوع کروکو است که تنها بخش کانسنس سیاه در آن تشکیل گردیده و فاقد کانسنس‌های زرد و پیریتی است. این کانسار بعد از تشکیل، درجه پایین دگرگونی (رخساره شیست سبز) و درجه بالای دگرشکلی را تحمل کرده است. فرآیندهای دگرگونی و دگرشکلی اعمال شده بر روی کانسار، ساختهای بافتی و اشکال جدیدی از کانه‌های طلا در کانسنس را ایجاد نموده است. در مرحله همزمان با ولکانیسم، نهشت سیالات هیدروترمال کم‌دما ($140-200$ درجه سانتی‌گراد) و شوری پایین ($1-6/9$ درصد وزنی NaCl ، که از طلا (و دیگر عنصر کانه‌ساز) غنی بوده است، به تشکیل کانسار باریکا، که مشخصات بخش کانسنس سیاه یک کانسار کروکو را داراست، منجر شده است. در این مرحله از کانی‌سازی، طلا به صورت غیرقابل‌رؤیت در داخل پیریت‌های فرامبوئیدال و در همراهی نزدیک با سولفوسالت‌ها و دیگر کانی‌های سولفیدی تمرکز یافته است. عملکرد دگرگونی پیش‌رونده (دگرشکلی مرحله D1) بر بخش چینه‌سان کانسار باریکا، به تبلور پیریت‌های فرامبوئیدال، ایجاد پیریت‌های درشت‌بلور و تشکیل الکتروم در مز دانه‌های پیریت تجدید‌بلور یافته منجر شده است. عملکرد پهنه برشی باریکا (دگرشکلی مرحله D2)، دگرشکلی شدید کانسار و تحرک دوباره طلا و کانی‌های حاوی Pb ، As ، Sb ، Ag و Cu را موجب گردیده و متعاقباً طلاهای درشت‌دانه (تا 3 میلی‌متر) در فضاهای ایجاد شده در این مرحله از دگرشکلی تمرکز یافته‌اند. مرحله دگرگونی پس‌رونده، با تشکیل رگه‌های سیلیسی سفیدرنگ فاقد کانه (دگرشکلی مرحله D3) و متعاقباً رخداد یک‌دسته گسل‌های

نرمال با شیب تند (دگرشکلی مرحله D4) همراه بوده است.

واژه‌های کلیدی: کانسار سولفید توده ای غنی از طلا، کانسنگ سیاه نوع کروکو، سیالات درگیر، دگرگونی، دگرشکلی باریکا، سنندج - سیرجان، ایران.

سیالات کانه ساز و مراحل تشکیل و تکوین کانسار باریکا مورد بحث قرار گرفته است. در بخش زمین‌شناسی، علاوه بر تکمیل زمین‌شناسی بخش چینه سان کانسار [۶ و ۹]. ویژگیهای زمین‌شناسی زون استرینگر، که در مطالعات قبلی چندان شناخته شده نبود، معرفی شده است. پس از آن، بر اساس مطالعات میکروترموتری سیالات درگیر، ماهیت فیزیکوشیمیایی سیال کانه ساز باریکا توصیف و مدل تشکیل کانسار باریکا ارائه گردیده است. بخش پایانی مقاله، به مراحل تشکیل و تکوین کانسار باریکا از زمان تشکیل همزمان با ولکانیسم کرتاسه تاکنون اختصاص دارد. در این بخش با استفاده از نتایج مطالعات سیالات درگیر و شواهد ساخت و بافت کانسنگها، شرایط تشکیل کانسار باریکا و نقش فرآیندهای دگرگونی و دگرشکلی در کنترل کانه زایی طلا (و دیگر فلزات)، مورد بررسی و تحقیق قرار گرفته است.

زمین‌شناسی کانسار باریکا

کانسار باریکا در شمال باختر پهنه سنندج - سیرجان و در زیر پهنه حاشیه‌ای آن [۱۰] قرار دارد. [۱۱ و ۱۲] ولکانیک‌های رخنمون یافته در شمال باختر پهنه سنندج - سیرجان را به یک محیط کمان قاره ای با ماهیت کالک آلکان، که در زمان کرتاسه میانی - بالایی تشکیل شده‌اند، نسبت داده‌اند.

واحدهای سنگی رخنمون یافته در محدوده باریکا، مجموعه‌ای از سنگهای آتشفسان-رسوبی زیردریایی دگرگون شده با سن کرتاسه می‌باشند که از متاولکانیک‌های آندزیت- تراکی آندزیتی، توفیت، فیلیت و اسلیت تشکیل شده‌اند. در محدوده کانسار باریکا، واحدهای متاولکانیکی و توفیتی، بیشترین گسترش را دارند. واحدهای متاولکانیکی، با مشخصات ظاهری و ترکیب سنگ شناسی مشابه، به صورت دو واحد گدازه ای (K^{Mv1} و K^{Mv2}) یا به صورت بین‌لایه‌های گدازه ای (K^{Mv3}) در واحد توفیتی رخنمون دارند (شکل ۱).

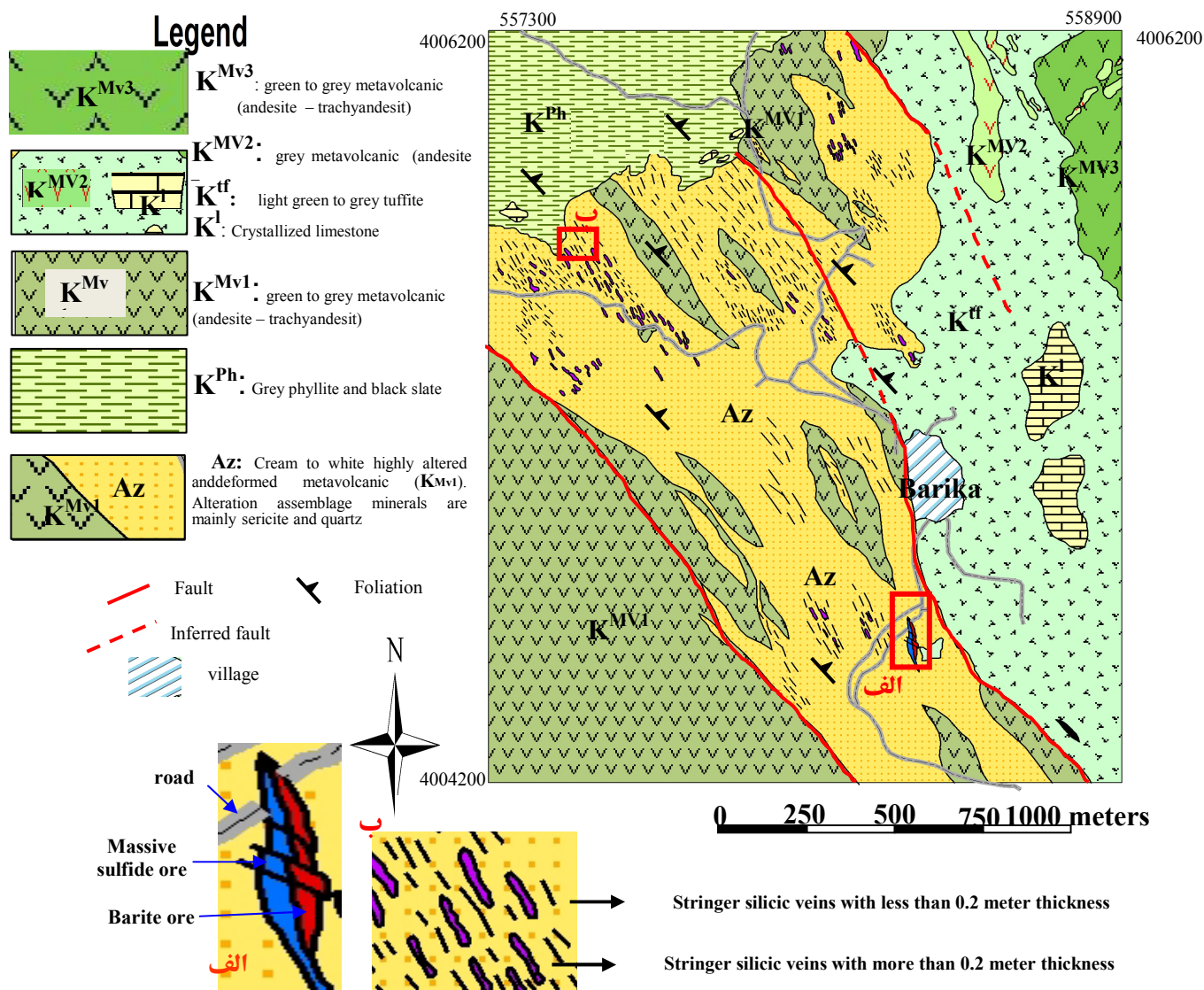
کانسار باریکا، یک کانسار سولفید توده‌ای غنی از طلا

مقدمه

کانسارهای سولفید توده‌ای غنی از طلا (Au-VMS)، نوعی از کانسارهای سولفید توده ای ولکانوژنیک هستند که در آنها مقدار طلا (بر حسب گرم در تن) بیشتر از مجموع مقدار عناصر مس، سرب و روی همراه (بر حسب درصد) می‌باشد [۴-۱] همانند اغلب کانسارهای سولفید توده‌ای ولکانوژنیک، کانسارهای سولفید توده‌ای غنی از طلا نیز، از عدسهیهای سولفید توده‌ای تا نیمه توده‌ای موازی تشکیل شده‌اند که بر روی مناطق تغذیه کننده استوکورک، که در کمرپایین کانسار گسترش دارند، قرار گرفته‌اند. اختلاف بین کانسارهای سولفید توده‌ای غنی از طلا و دیگر کانسارهای VMS در تمرکز طلای آنهاست. به‌طوری‌که در این دسته از کانسارها، مقدار طلا (بر حسب گرم بر تن) بیشتر از مجموع عیار Zn، Cu، Pb و (بر حسب درصد) است [۱ و ۴]، از این‌رو در این دسته از کانسارها، طلا به عنوان فلز اصلی است. عناصر فلزی همراه با کانسارهای سولفید توده ای غنی از طلا Ag، Cu، As، Sb و Bi می‌باشند [۴].

کانسار باریکا، اولین و تنها کانسار سولفید توده ای غنی از طلا (ونقره) گزارش شده در ایران است که در ولکانیک‌های آندزیتی کرتاسه، در پهنه سنندج - سیرجان شمالی، جای گرفته است. بر خلاف اغلب کانسارهای سولفید توده‌ای جهان، مقدار مجموع فلزات پایه در کانسار باریکا به نحو چشم‌گیری پایین است (wt % Zn + Pb + Cu < 1). کانسار باریکا، وسط تاج‌الدین [۵]. به عنوان کانسار طلای نوع پهنه برشی معرفی گردید و یارمحمدی [۶]. این کانسار را، با ذخایر سولفید توده‌ای نوع Au-Zn-Pb-Ag معرفی شده توسط لارج و همکاران (۱۹۸۹) و چند ذخیره تیپ کروکو با سن میوسن در Hokurok Basin ژاپن [۸]، قبل مقایسه دانسته‌اند. ایشان نقش فرآیندهای دگرگونی و دگرشکلی را بر روی کانسنگ‌های سولفیدی و باریتی کانسار و به خصوص بر تحرک و تمرکز مجدد طلا مورد بررسی قرار داده‌اند.

در این مقاله زمین‌شناسی کانسار، ماهیت فیزیکوشیمیایی



شکل ۱. نقشه زمین شناسی کانسار سولفید توده ای باریکا. الف: نمای نزدیک از موقعیت کانسنگ چینه سان (سولفید و باریت توده ای)، ب: نمای نزدیک از زون استرینگر.

مالاکیت، آزوریت، کوولیت و آزوریت. مهمترین کانیهای باطله، باریت، کوارتز، سرسیت، مسکویت، کلریت و کانیهای رسی می‌باشد. در شکلهای ۳ و ۴، نمایی از بخش‌های مختلف کانسنگ‌های سولفیدی، باریتی و سیلیسی در بخش چینه سان کانسار باریکا نشان داده شده است. موقعیت استراتی‌گرافی بخش چینه سان کانسار، در بخش‌های فوکانی واحد K^{mv1} ، در نزدیک به قاعده واحد توفیتی (K^{tf}) می‌باشد. به‌نظر می‌رسد سیالات کانه ساز در مراحل آخر ولکانیسم واحد K^{mv1} و در تغییر ولکانیسم گدازه ای به توفینی به کف دریا وارد شده‌اند.

ب) کانسنگ رگه‌ای (زون استرینگر)

بخش کانسنگ رگه‌ای یا زون استرینگر، از رگه و رگچه‌های سیلیسی سولفیددار با ساخت استوکورک تشکیل شده است. این بخش از کانسار در محدوده ای به طول حدود ۲ کیلومتر و پهنای ۱۰۰ - ۵۰۰ متر با راستای شمال - شمال باختر، جنوب - جنوب خاور، در کمر پایین کانسنگ چینه سان رخ داده است (شکل ۱). رگه و رگچه‌های سیلیسی سولفید دار زون استرینگر، در طولهای چند سانتی‌متر تا دهها متر و با ضخامت‌های میلی‌متری تا حدود ۱ متر رخنمون دارند. عیار متوسط طلا و نقره در رگه‌های سیلیسی این بخش از کانسار به ترتیب ۷/۰ و ۳۲ گرم بر تن اندازه گیری شده است (جدول ۱).

کانی‌شناسی رگه و رگچه‌های سیلیسی زون استرینگر، نسبت به کانسنگ چینه سان، ساده بوده و شامل پیریت، اسفالریت، گالن، تترائدریت و مقادیر نادر کالکوپیریت (شکل ۷) است.

در محدوده گسترش رگه و رگچه‌های سیلیسی زون استرینگر، انواع دگرسانیهای سرسیتی، کوارتز - سرسیت، سیلیسی، سولفیدی و کلریتی مشاهده شده است و محدوده گسترش زون استرینگر، با گستره زون‌های دگرسانی منطبق است (شکل ۱). معمولاً در بخش‌هایی از سنگ میزبان رگه و رگچه‌های سیلیسی زون استرینگر، که با دگرسانی کوارتز - سرسیت، سیلیسی و سولفیدی همراه هستند، کانه‌زایی سولفیدی (پیریت، گالن، اسفالریت و تترائدریت) نیز مشهود است (شکل ۶).

شواهد صحرایی حاکی از آن است که اغلب رگه‌های

(و نقره) است که از دو بخش (الف) کانسنگ چینه سان و (ب) کانسنگ رگه‌ای (زون استرینگر) تشکیل شده است. واحد متاندزیتی K^{mv1} ، سنگ میزبان این کانسار است و به‌طور کامل هر دو بخش چینه سان و زون استرینگر کانسار را دربردارد. کانسار باریکا و سنگ میزبان آن، بعد از تشکیل‌تحمیل دگرگونی (در حد رخساره شیست سبز) شده و متعاقباً تحت تأثیر عملکرد پهنه برشی باریکا، با راستای شمال باختر - جنوب خاور و شیب ۴۵-۶۰ درجه به سمت شمال خاور، به شدت دگرشکل گردیده است (شکل ۱). ژئومتری، شدت و روند پهنه برشی باریکا، توسط ژئومتری، شدت و روند پهنه دگرسانی میزبان کانسار کنترل می‌شود، به‌طوری‌که گستره عملکرد پهنه برشی، به‌طور کامل با گستره کانسار باریکا و زون دگرسانی میزبان آن منطبق است و بیشترین شدت دگرشکلی بر کانسار باریکا (بخش چینه سان) مطابقت دارد.

دگرسانی غالب سنگ میزبان، سرسیتی، کوارتز - سرسیتی (شکل ۲ الف)، سیلیسی (شکل ۲ ب)، سولفیدی و کلریتی است و پدیده‌های توأمان دگرسانی و دگرشکلی، تا حدود زیادی بافت پورفیری سنگ اولیه را از بین برده است. در مقاطع میکروسکوپی، واحد متاولکانیکی میزبان کانی‌سازی کاملاً دگرسان و دگرشکل بوده و غالباً فابریکهای میلیونی را نشان می‌دهند (شکل ۲ الف).

در زیر دو بخش (الف) کانسنگ چینه سان و (ب) کانسنگ رگه‌ای (زون استرینگر) مورد بررسی قرار گرفته است.

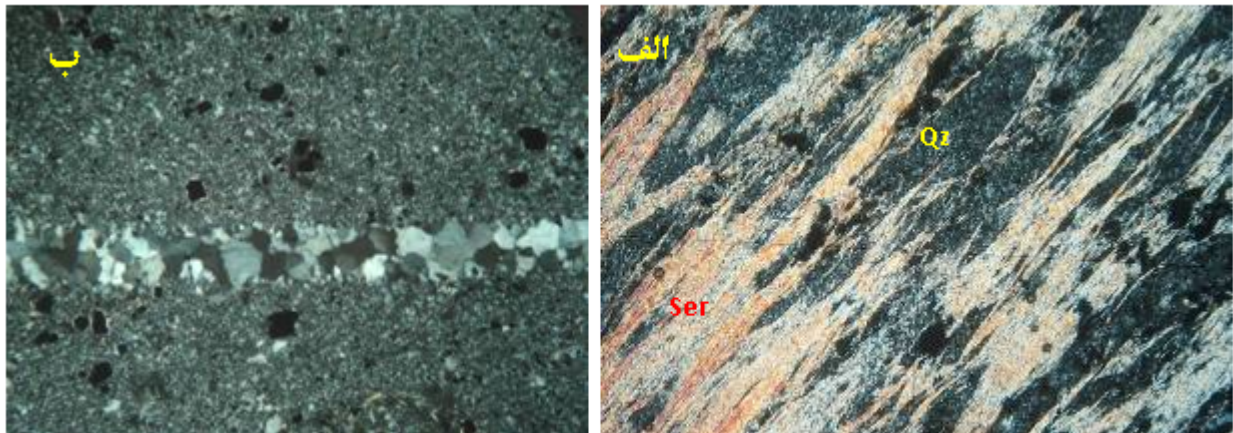
الف) کانسنگ چینه سان

این بخش از کانسار، شامل کانسنگ‌های سولفید و باریت توده‌ای - نواری همراه با بخش‌های فرعی از نوارهای سیلیسی است که مجموعاً در طول بالغ بر ۱۵۰ و ضخامت ۱-۲۰ متر رخنمون دارند. عیار متوسط طلا و نقره در قسمتهای مختلف این بخش از کانسار، به ترتیب ۸/۳ و ۴۲۰ گرم بر تن اندازه گیری شده است. (جدول ۱).

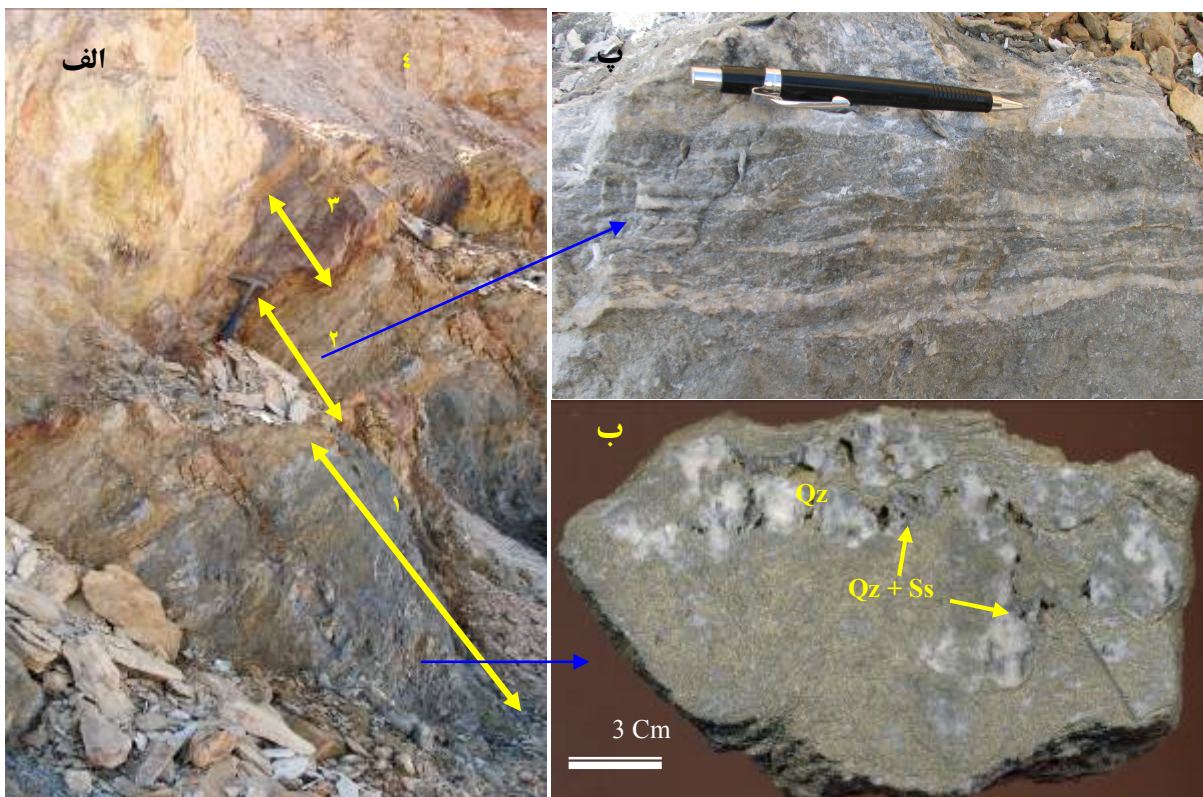
کانه‌های تشکیل دهنده در قسمتهای مختلف کانسنگ چینه سان تنوع زیادی دارند و عبارتند از پیریت، اسفالریت، گالن، تترائدریت - تنانیتیت، بورونویت - بولانتریت، استفانیت، پیرارژیریت، ترچمنیت، میارژیریت، آندوریت، ژئوکرونیت، گوتاردیت، تتووینیت - وینیت، استیبنیت، طلا (الکتروم)،

مربوط به زون استرینگر، که در حاشیه پهنه برشی قرار داشته و از کانون دگرشكلي دور بوده‌اند، تنش كمتری را تحمل كرده و تا حدودی ساخته‌های اولیه کانه‌زایی در آنها حفظ شده است (شکل ۶).

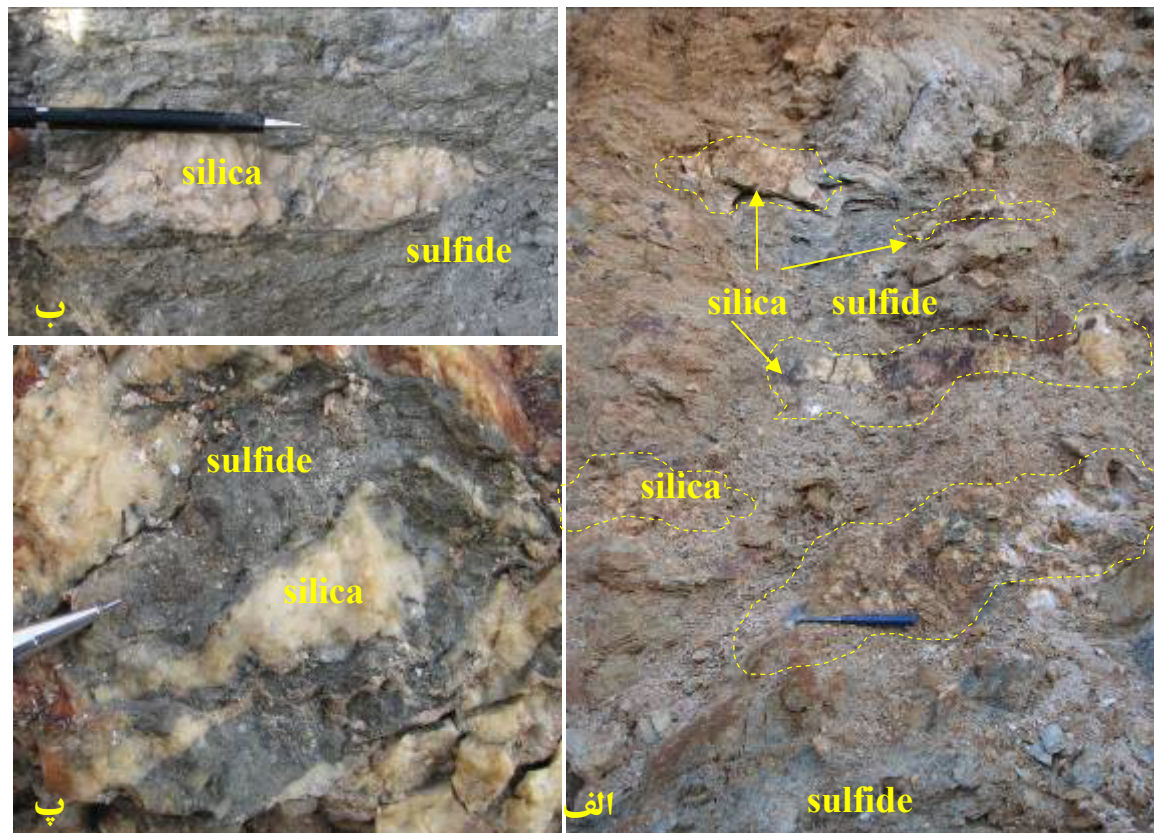
سیلیسی واقع در مرکز پهنه برشی، کاملاً دگر شکل گردیده و غالباً در جهت راستای عمومی برگوارگی‌ها (شمال باخته-جنوب خاور) جهت‌یافته (oriented) شده‌اند (شکل ۵). در حالی که تعداد اندکی از رگه‌های سیلیسی



شکل ۲. تصاویر میکروسکوپی از متاولکانیک‌های شدیداً دگرسان شده: (الف) دگرسانی کوارتز - سریسیت با فابریک اولترا میلونیتی و (ب) دگرسانی سیلیسی - سولفیدی. کانه‌های تیره رنگ در شکل ب، پیریت می‌باشند.



شکل ۳. (الف) نمایی از بخش‌های مختلف کانسار سولفید توده‌ای باریکا در بخش چینه سان: ۱) بخش سولفید توده‌ای، ۲) تناب باریت و سولفید، ۳) باریت و ۴) متاولکانیک دگرسان شده (کمر بالا). در شکل ب، نمای نزدیک سولفید توده‌ای و در شکل پ، نمای نزدیک از تناب باریت و سولفید، نشان داده شده است.

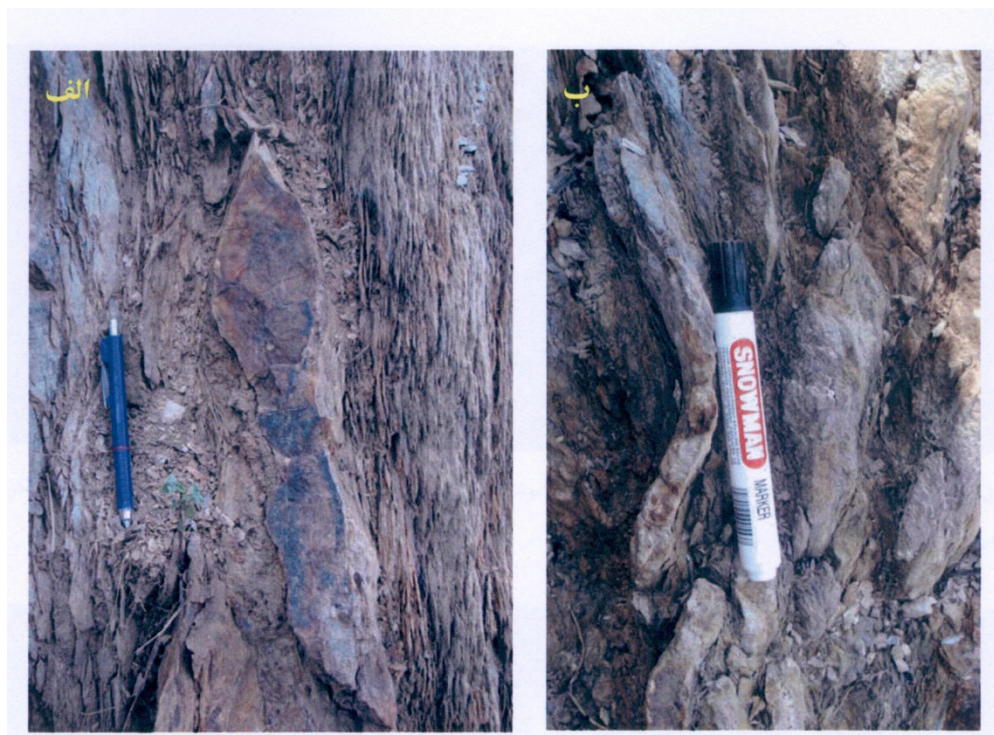


شکل ۴. نمایی از کانسنگ های سیلیسی و سولفیدی در بخش چینه سان کانسار باریکا. کانسنگ های سیلیسی در ابتدا بصورت نوارهای موازی در همراهی با کانسنگ سولفیدی نهشته شده اند ولی به علت ماهیت شکنای سیلیس، در اثر دگرگشکلی، اغلب قطعه قطعه شده (شکل الف) و کمتر بصورت بودینه (شکل های ب و پ) مشاهده می شوند.

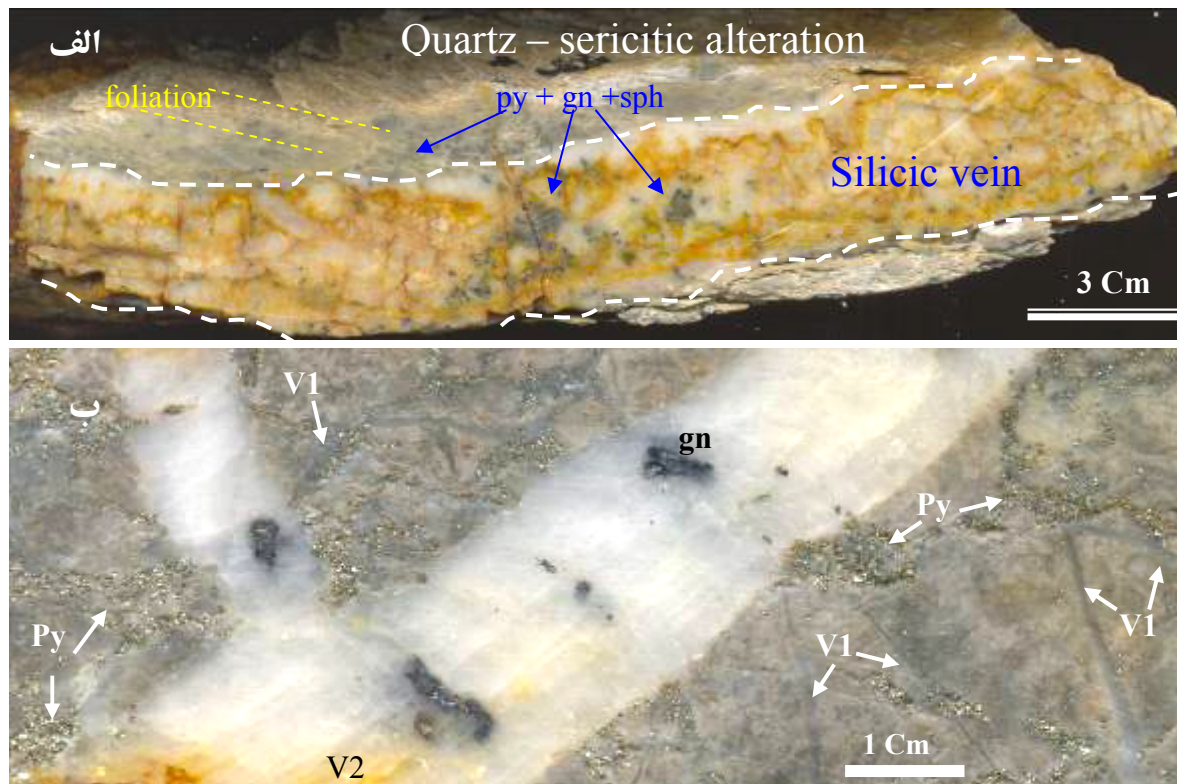
جدول ۱. ویژگی‌های کانی‌شناسی و ژئوشیمیایی کانسار باریکا.

زون استرینگر	زون سولفید و باریت توده‌ای - نواری	سنگ میزبان		
آنذیت با دگرسانی سیلیسی، سرسیست کاسنگ سیلیسی رگه ای و رگچه ای	کمر بالا و کمر پائین: آندزیت با دگرسانی سیلیسی، سرسیست کوارتز و سولفیدی غلب نواری در ضخامت‌های سانتی متر تا ۱/۵	گل کاسنگ سولفیدی اغلب توده‌ای (تا ضخامت حدود ۱۰ متر) در مرز کاسنگ سولفیدی و باریتی به صورت نواری در ضخامت سانتی متری تا چند دسی‌متر		
Py>Sph>Gn>Tet - Tn ± Cpy ± Au	Ss>>Py>cin +Au	Py>>Ss>stb> Sph>Gn + Au		
Pb, Zn, Cu, As, Sb, Ag, Au	Au, Ag, Pb, Zn, Cu, Sb, Hg, As	Au, Ag, Cu, Pb, Zn, Sb, As, Hg		
۰/۷۳ ۳۱ ۴۴۰ ۱۰۵ ۱۲/۴ ۰/۱ ۰/۱۶ ۰/۰۲ ۰/۲۷ ۰/۰۲۳	۹/۳ ۱۵۷۵ ۱۱۰۱ ۲۴۸۹ ۱۱۸۲ ۰/۰۸ ۰/۱۲ ۰/۰۷ ۰/۲۶ ۰/۰۰۶	۷/۴ ۲۸۱ ۲۹۸ ۵۴۸ ۵۹ ۰/۴۸ ۰/۴۱ ۰/۱۱ ۱ ۰/۰۱۹	۹/۲ ۱۷۵۵ ۱۴۷۹ ۲۰۰۹ ۵۰۹ ۰/۰۵ ۰/۰۸ ۰/۱۴ ۰/۲۸ ۰/۰۰۵	کانی‌شناسی شکل کانی‌سازی اولیه در مقیاس رخمنون (نمونه دستی) عناصر فلزی همراه

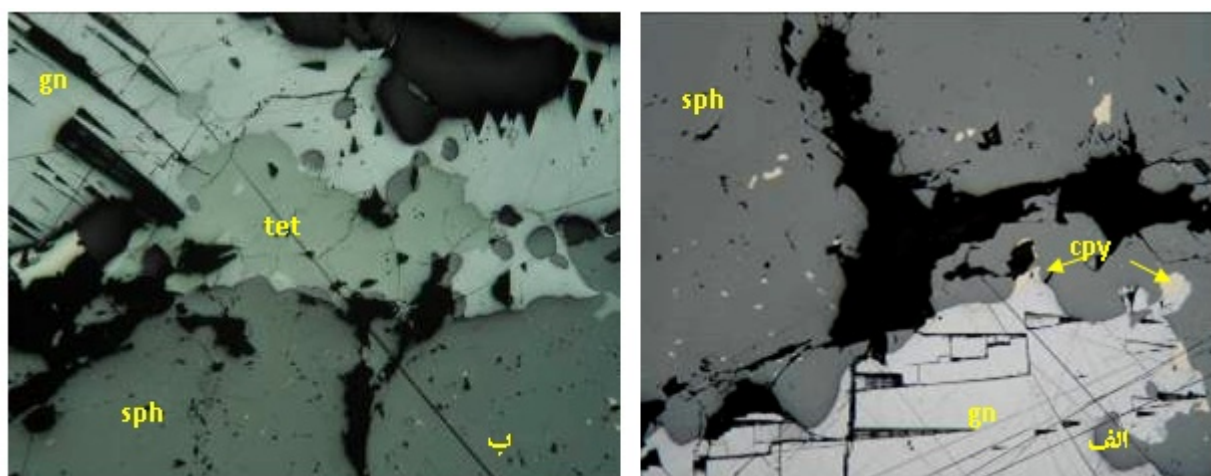
Ss : کانی‌های سولفوسالت، Py : پیریت، Sph : اسقالاریت، Gn : گالن، Tet : تترادریت، Cin : تناتیت، Tn : گالن، Cpy : سینابر، Stb : کالکوپیریت، Au : طلا



شکل ۵. عملکرد دگرشكلي بر روی رگه های سیلیسی زون استرینگر به صورت بودین شدگی (الف) و چین خوردگی (ب).



شکل ۶. در شکل االف، بخشی از رگه سیلیسی زون استرینگ نشان داده شده است که حاوی پیریت (py)، گالن (gn) و اسفالریت (sph) می باشد. سنگ میزبان رگه سیلیسی، با دگرسانی کوارتز – سریسیت و سولفیدی (پیریت، گالن و اسفالریت) همراه است. در شکل ب، ساخت استوکورک رگه های سیلیسی سولفیددار (V2)، تا حدود زیادی حفظ شده است. در این شکل، رگه های سیلیسی سفید رنگ (V2)، رگچه های سیلیسی خاکستری رنگ (V1) را قطع نموده اند. سنگ میزبان رگه های سیلیسی، با دگرسانی کوارتر – سریسیت و کانه زائی پیریت همراه است.



شکل ۷. کانه های سولفیدی (اسفالریت: sph، گالن: gn و کالکوپیریت: cpy) و سولفوسالتی (تنانتیت – تراورنیت: tet) در رگه های سیلیسی زون استرینگ. کالکوپیریت اغلب بصورت ادخال در اسفالریت (کانه های روشن در شکل ب) وجود دارد.

و همکارش(۱۹۸۸) اظهار داشتند، ممکن است در اثر گرما سیالات درگیر موجود در کانیهای رخ پذیر، مانند باریت، منبسط گردیده و از این رو نتایج نادرست بهدست دهد. همچنین سیالات درگیر موجود در باریت مستعد necking down میباشند [۱۵ و ۱۶]. از این رو میکروترموتری سیالات درگیر در باریت، بهخصوص در مناطق دگرشکل شده، با ملاحظاتی همراه است که بر دشواری این مطالعات میافزاید. چنین ملاحظاتی موجب گردید، پس از پتروگرافی ۱۰ مقطع دوبرصیقلی تهیه شده از بخشهای کمتر دگرشکل شده کانسنگ باریتی، تنها ۳ نمونه جهت مطالعه میکروترموتری مناسب تشخیص داده شود.

مطالعات میکروترموتری سیالات درگیر کانسار باریکا، در آزمایشگاه کانی‌شناسی مؤسسه تحقیقات و فرآوری مواد معدنی ایران به کمک استیج گرم کننده و منجمد کننده (Stage:THMS600) با مدل Linkam که بر روی میکروسکپ Zeiss نصب است، انجام شد. دامنه حرارتی دستگاه ۱۹۶ - تا ۶۰۰ + درجه سانتی‌گراد است. به علت کوچک بودن سیالات درگیر، مطالعه با استفاده از بزرگنماییهای ۸۰۰ و ۱۲۵۰ میکروسکپ Zeiss انجام شده است. مورفولوژی و مشخصات سیالات درگیر در دمای اتاق با استفاده از معیارهای [۱۷] و [۱۸] ثبت گردید. به علاوه نسبتهای فاز بخار/ سیال، با استفاده از جداول استانداردی که بدین منظور تهیه شده است [۱۸] ارزیابی گردید. سیالات درگیر بر اساس چگونگی رخداد آنها در کانی میزبان، ارتباط آنها با یکدیگر و نوع سیالات دسته بندی شدند. با توجه به ارتباط سیالات درگیر نسبت به کانی میزبان، سیالات به انواع اولیه (به صورت سیالات پراکنده و بدون شکل هندسی)، ثانویه (سیالاتی که در طول شکستگیها و مرز کانیها رخ داده‌اند) و ثانویه دروغین (سیالاتی که در طول شکستگیها که سطوح بلورین را قطع نمی‌کنند) تقسیم می‌شوند. در این تحقیق سیالات درگیر دو فازی مایع - گاز (LV)، به لحاظ اولیه بودن، درشت‌تر بودن و فراوانی آنها، مطالعه شدند و از مطالعه سیالات دو فازی گاز - مایع و تک فازی مایع، به لحاظ ثانویه بودن و اندازه کوچک آنها صرف‌نظر شد.

مطالعات میکروترموتری سیالات درگیر روش مطالعه

به‌منظور شناخت ماهیت فیزیکوشیمیایی سیال کانه ساز و بررسی روند تغییرات شیمی و حرارتی سیال (یا سیالات) کانه‌ساز در طی تشكیل کانسار، از رگه‌های سیلیسی زون استرینگ و عدیمهای باریتی بخش چینه سان کانسار باریکا، تعداد ۱۷ مقطع دوبرصیقلی، تهیه گردید که از این تعداد تنها ۶ مقطع برای مطالعات میکروترموتری سیالات درگیر مناسب تشخیص داده شد. کانیهای اسفالریت به علت پراکنده‌گی کم و نیز رنگ قهوه‌ای تیره آنها، جهت مطالعه میکروترموتری سیالات درگیر مناسب نبوده‌اند.

بر اساس شواهد صحراوی و بافتی، در زون استرینگ کانسار باریکا، کانی‌سازی به مجموعه ای از رگه‌های سیلیسی سولفید دار (پیریت، اسفالریت، گالن و تترائدریت) منحصر است که در یک بازه زمانی نه چندان طولانی، به عنوان معابر تغذیه کننده کانسنگ چینه سان (سولفید و باریت توده‌ای - نواری) کانسار فعالیت داشته‌اند. آنچه مسلم است، سیستم رگه‌های سیلیسی استرینگ کانسار باریکا، حاصل عملکرد مراحل چندگانه فعالیتهای هیدروترمال کانه‌ساز نبوده و تنها تاریخچه یک مرحله از فعالیت سیستم هیدروترمال را ثبت کرده است، اگرچه در بعضی از بخشها زون استرینگ، رگه و رگچه‌های سیلیسی به صورت استوک ورک یکدیگر را قطع کرده‌اند (شکل عب)، ولی همانندی رگه‌ها از نظر شکل و پاراژنز کانه‌ها، حاکی از آن است که رگه‌های مذکور از ته نشست یک سیال مشابه در یک بازه زمانی کوتاه تشكیل شده‌اند. تمامی رگه‌های سیلیسی زون استرینگ در اثر فرآیندهای دگرگونی و دگرشکلی، درجات متفاوتی از دگرشکلی را تحمل کرده‌اند، لذا انتخاب نمونه مناسب، از سیستم رگه‌های سیلیسی کانسار باریکا، که دارای سیالات درگیر اولیه مناسب جهت مطالعه باشند چندان آسان نبوده است. به طوری که از تعداد ۷ نمونه برداشت شده از رگه‌های سیلیسی با کمترین درجات دگرشکلی، فقط ۳ نمونه جهت مطالعه میکروترموتری مناسب تشخیص داده شد.

باریت به عنوان بخشی از کانسنگ طلدار، در قسمتهای فوقانی بخش چینه سان کانسار باریکا تشكیل شده است. شناسایی و مطالعه سیالات درگیر اولیه در باریت اغلب مشکل است، به طوری که Larson و همکارانش (۱۹۷۳) و Ramboz

نامنظم در کوارتز میزبان پراکنده‌اند (شکل ۸ الف). درجه پرشدگی آنها $0/7$ تا $0/8$ است. بعضی از بخش‌های کوارتز آرایشی از ریزشکستگی‌های ترمیم شده را نشان می‌دهند که احتمالاً در اثر فرآیندهای دگرشکلی و تبلور مجدد تکتونیکی ایجاد شده است (شکل ۸ب). اغلب سیالات درگیرنوع L و نوع VL، که اندازه اغلب آنها کوچکتر از ۵ میکرون است، در امتداد این شکستگی‌ها تمرکز یافته‌اند.

- سیالات درگیر در باریت (بخش چینه سان):
شکل ظاهری و نوع سیالات درگیر در نمونه‌های باریتی، مشابه با نمونه‌های سیلیسی است، با این تفاوت که اندازه سیالات درگیر در نمونه‌های باریتی به طور محسوسی کوچکتر (حداکثر ۸ میکرون) ولی تعداد آنها بیشتر است. اغلب سیالات درگیر در نمونه‌های باریتی از نوع دو فازی گاز- مایع (VL) و تک فازی مایع (L) می‌باشند که ثانویه بوده و در اشکال کشیده در امتداد ریز شکستگی‌های ترمیم یافته، تمرکز یافته‌اند (شکل ۹ب). سیالات درگیر اولیه از نوع دو فازی مایع- گاز (LV) می‌باشند که بیشتر در اشکال نامنظم و کروی در متن باریت پراکنده‌اند (شکل ۹الف). در نمونه‌های باریتی، تعداد محدودی انکلوژونهای CO_2 دار مشاهده شده است.

- پتروگرافی سیالات درگیر:

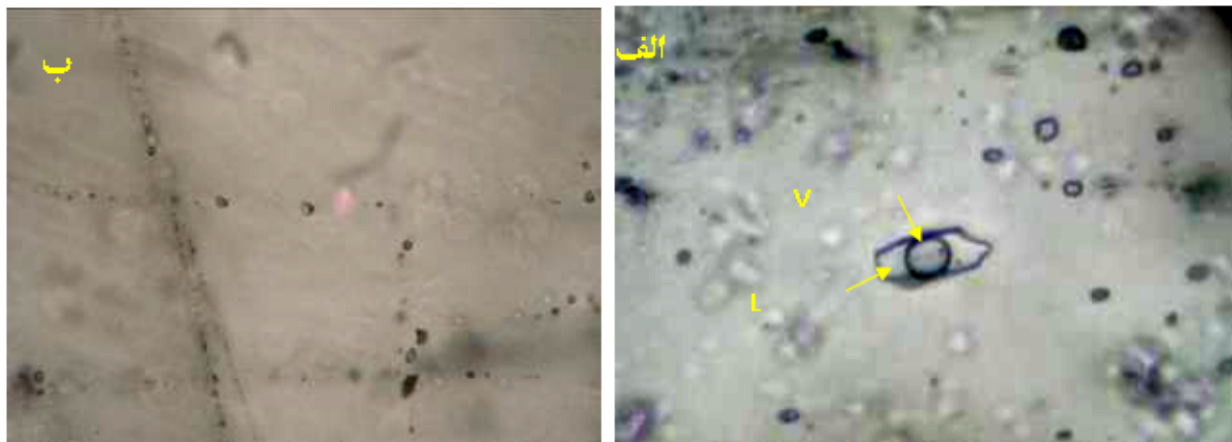
مطالعه سیالات درگیر بر روی رگه‌های کوارتزی زون استرینگر و عدسیهای باریتی بخش چینه سان کانسار باریکا انجام شده است.

- سیالات درگیر در کوارتز (زون استرینگر):

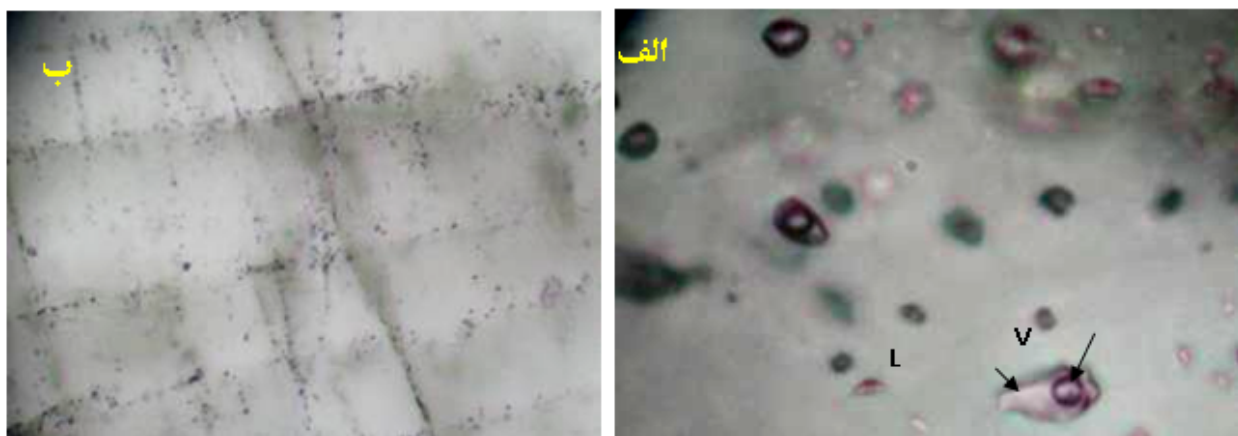
از لحاظ شکل ظاهری، سیالات درگیر در نمونه‌های زون استرینگر را با توجه به پارامترهای [۱۷] و [۱۸] می‌توان به ترتیب فراوانی به صورت اشکال نامنظم، کشیده و کروی تقسیم‌بندی کرد.

سیالات درگیر در نمونه‌های سیلیسی مطالعه شده در ۴ نوع مشاهده شده‌اند: الف) دو فازی مایع- گاز (LV)، ب) دو فازی گاز- مایع (VL)، پ) تک فاز مایع (L) و ت) انکلوژونهای CO_2 دار.

از لحاظ اندازه، سیالات درگیر مورد مطالعه، ریز تا بسیار ریز بوده و اندازه آنها از ۲ تا ۱۲ میکرون متغیر است. از میان انواع سیالات مذکور، سیالات درگیر دوفازی مایع- گاز (LV) از بقیه انواع فراوان‌تر بوده و اندازه‌های بزرگتری نیز دارند. پتروگرافی نمونه‌ها حاکی از آن است که تنها سیالات دوفازی نوع LV و انکلوژونهای CO_2 دار، شواهدی از اولیه بودن را نشان می‌دهند. سیالات درگیر نوع LV اغلب با اشکال نامنظم و کمتر کروی در اندازه‌های ۲ تا ۱۲ میکرون به طور



شکل ۸: الف) سیال درگیر اولیه دو فازه و ب) سیالات درگیر ثانویه در کوارتزهای مربوط به رگه‌های سیلیسی زون استرینگر. L=Liquid, V=Vapor.



شکل ۹. الف) انکلوزیونهای سیال دو فازه و ب) انکلوزیونهای سیال ثانویه در کانسنگ باریتی بخش چینه سان. L=Liquid, V=Vapor

باریتی(بخش چینه سان کانسار) در شکلهای ۱۰ الف و ب نشان داده شده است

محدوده اولین نقطه ذوب یخ یا انتکتیک (T_e) در نمونه‌های زون استرینگر ۲۷ - تا ۴۵ درجه سانتی گراد اندازه گیری شده است که نشان می‌دهد سیال کانه‌ساز، به صورت یک شورابه ساده NaCl نبوده، بلکه ممکن است علاوه بر Na_+ نمکهای دیگر منیزیم، پاتاسیم، کلسیم، آهن و منگنز نیز در نمونه وجود داشته باشد.

محدوده آخرین نقطه ذوب یخ (T_m ice) در نمونه‌های سیلیسی مربوط به زون استرینگر، بازه $-0/8$ - $6/3$ درجه سانتی گراد ثبت گردیده است که به ترتیب معادل شوربهاست ۱/۶ تا $9/6$ درصد وزنی NaCl است [۹]. در نمونه‌های باریتی محدوده آخرین نقطه ذوب یخ (T_m ice) در بازه $-0/4$ - $7/7$ درجه سانتی گراد اندازه گیری شده است که به ترتیب معادل با شوربهاست $0/4$ تا $7/6$ درصد وزنی NaCl می‌باشد. به طوری که ملاحظه می‌شود، درجه شوری میانه برای هر دو نوع نمونه‌های سیلیسی و باریتی به ترتیب $4/7$ و $4/1$ درصد وزنی NaCl است که کمی بیشتر از درجه شوری آب دریا $3/5$ درصد وزنی NaCl ولی نزدیک به آن است.

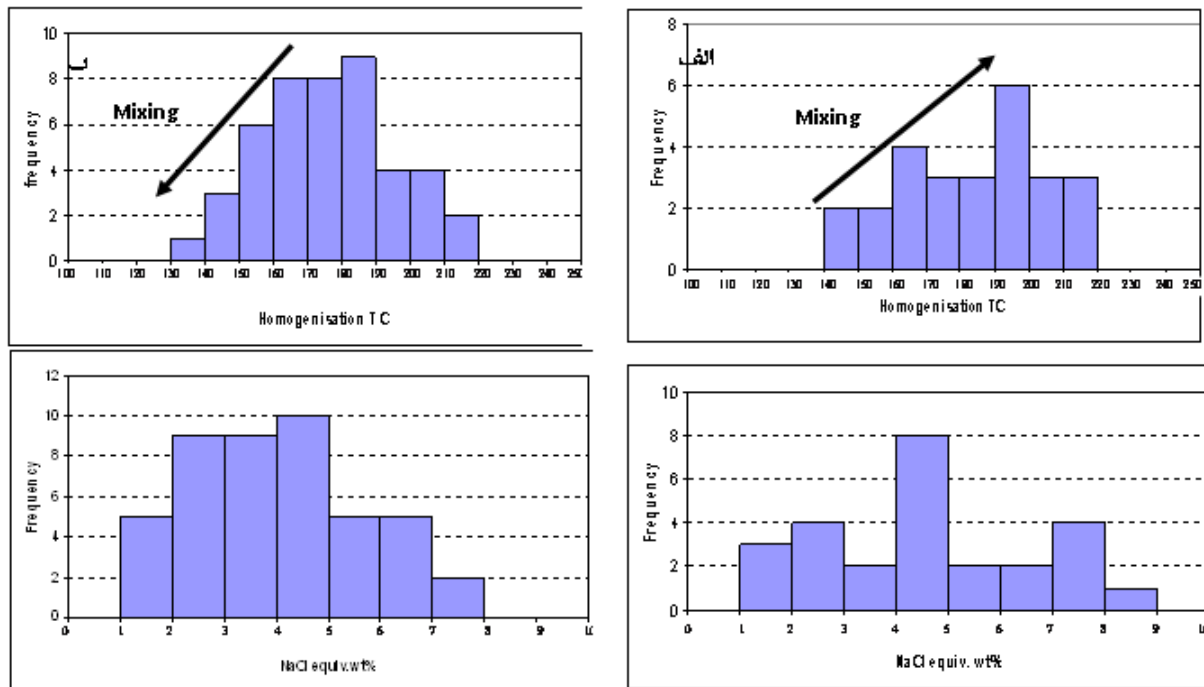
میکروترموometri سیالات درگیر - دماهای همگون شدن

داده‌های دمای همگون شدن برای سیالات درگیر اولیه دو فازی مایع - گاز (LV)، برای نمونه‌های سیلیسی (زون استرینگر) و باریتی(بخش چینه سان کانسار) در شکلهای ۱۰ الف و ب نشان داده شده است. همان‌طور که در شکل ۱۰ الف آمده است، محدوده دمای همگن شدن برای نمونه‌های برداشت شده از رگه‌های سیلیسی زون استرینگر از 15°C تا 22°C و با دمای میانه $18/7$ درجه سانتی گراد اندازه گیری شده است. محدوده دمای همگن شدن برای نمونه‌های باریتی از 14°C تا $21/1$ و با دمای میانه $17/4$ درجه سانتی گراد می‌باشد (شکل ۱۰ ب). در این مطالعه دمای همگون شدن برای تعادی از سیالات درگیر نوع VL، که ثانویه شناسایی شدنده، برای هر دو نمونه کوارتر و باریت از 246°C تا 290°C درجه سانتی گراد ثبت گردیده است.

مرحله گرماسنجی بر روی تعدادی از انکلوزیونهای غنی از CO_2 ، حاکی از آن است که CO_2 به صورت محلول در سیال آب‌گون و نیز همراه با گازهای دیگر از جمله متان، در انکلوزیونها وجود دارد.

-شوری

داده‌های شوری برای سیالات درگیر اولیه دو فازی مایع - گاز (LV) برای نمونه‌های سیلیسی (زون استرینگر) و



شکل ۱۰. هیستوگراهای دماهای همزنیزاسیون برای انکلوژینهای سیال در (الف) رگه سیلیسی زون استرینگ و (ب) باریت در کانسنگ چینه سان. پراکندگی دماهای حبس شدگی برای انکلوژینهای سیال در کوارتز و باریت مایل هستند (روندهای پیکان) و ممکن است سرد شدن سیالات حرارت بالا (۲۰۰ درجه) در اثر اختلاط با آب دریا را نشان دهد.

سرد شدن سیالات هیدروترمال در زون استرینگ از ۲۲۰ به ۱۴۰ درجه سانتی گراد (شکل ۱۰ الف)، مستلزم اختلاط سیال با حدود ۲۰ درصد آب دریا می‌باشد، در حالی که سرد شدن سیال بر روی کف دریا و نهشت باریت چینه سان، کاهش دما از ۲۲۰ به ۱۳۰ درجه سانتی گراد (شکل ۱۰ ب) را نشان می‌دهد که مشارکت سهم بیشتری از آب دریا (حدود ۳۰ درصد) در اختلاط آب دریا با سیال هیدروترمال را نیازمند است. فرآیند اختلاط آب دریا با سیال هیدروترمال، در کاهش شوری سیال کانه ساز از میانگین ۴/۷ (در زون استرینگ) به میانگین ۴/۱ (در کانسنگ باریتی) نیز مشهود است.

مراحل تشکیل و تمرکز کانه‌ها در کانسار باریکا
یارمحمدی (۱۳۸۵) و یارمحمدی و همکارانش (۱۳۸۷ و ۱۳۸۴) کانسار باریکا را با ذخایر غنی از طلاز Au-Zn-Pb-Ag معرفی شده توسط لارج و همکارانش (۱۹۸۹) و چند ذخیره تیپ کروکو با سن میوسن در Hokuroko Basin ژاپن [۸]

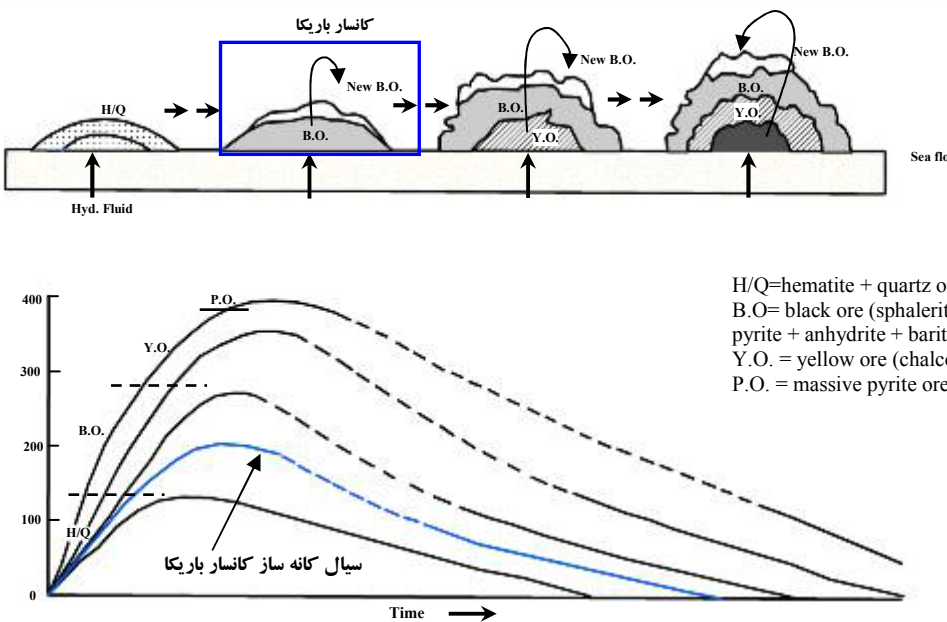
نتایج مطالعات میکروترموتری سیالات درگیر
قرابت درجه شوری سیالات کانه ساز باریکا (میانگینهای ۴/۷ و ۴/۱ درصد وزنی NaCl به ترتیب برای کوارتز و باریت) با درجه شوری آب دریا (۳/۵ درصد وزنی NaCl)، از منشأ آب دریا، برای سیالات هیدروترمال حکایت دارد. نتایج حاصل از مطالعات سیالات درگیر برای رگه‌های سیلیسی زون استرینگ کانسار باریکا، با مشخصات سیالات کانه ساز توصیف شده برای کانسارهای سولفید توده ای نوع کروکو [۱۹]، قابل مقایسه است، با این تفاوت که دمای سیال در کانسار باریکا بدقتدری پایین بوده که فقط به تشکیل کانسنگ سیاه منجر شده و در حدی نبوده است که بتواند کانسنگ‌های زرد و پیریتی را تشکیل دهد. در هیستوگراهای دماهای همزنیزاسیون شکل ۱۰، پراکندگی دماهای حبس شدگی برای انکلوژینهای سیال در کوارتز و باریت روند مایل دارند (روندهای پیکان)، که می‌تواند به علت سرد شدن سیالات حرارت بالا (حدود ۲۰۰ درجه) در اثر اختلاط با آب دریا باشد.

(حدود ۲۰۰ درجه سانتی گراد) با شوری پایین (۱-۶/۹ درصد وزنی نمک طعام)، که با آب سرد دریا اختلاط نموده، تشكیل شده است. کانی سازی به دو صورت رگه ای (در زون استرینگ کمر پایین) و چینه سان (بر روی کف دریا) رخ داده است. به علت ماهیت گدازهای سنگ میزبان (متآندزیت) و نبود فضاهای خالی اولیه در آن، تشكیل کانسنگ به صورت جانشینی کم عمق زیر کف دریا توسعه نیافته و تمام حجم کانسنگ‌های سولفیدی، باریتی (و سیلیسی) به صورت چینه‌سان بر روی کف دریا تشكیل شده است. بر طبق مدل پیشنهاد شده توسط [۲۱ و ۲۲]، اغلب کانسنگ‌های سولفید تودهای نهشت یافته بر روی کف دریا، در طی دو مرحله تشكیل می‌شوند. در مرحله اول، سیالات هیدروترمال داغ ($T=150-300^{\circ}\text{C}$ ، در نتیجه واکنش با آب سرد دریا، کانه‌های اولیه ریزدانه (رخساره ۱) را نهشت می‌سازند. کانیهایی که در این مرحله تشكیل می‌شوند، عمدتاً از مجموعه‌های کانسنگ سیاه (یعنی پیریت، اسفالریت، گالن، تترادریت و باریت) تشكیل شده‌اند. در مرحله دوم، فرآیند جانشینی کانه‌های تشكیل شده در مرحله اول توسط سیالات هیدروترمال داغتر اتفاق می‌افتد.

قابل مقایسه دانسته‌اند. مطالعات اخیر بیانگر از آن است که به علت ماهیت دمای کم و شوری پایین سیالات کانه ساز، کانسار باریکا شکل ناقص و تکامل نیافته از یک کانسنگ سیاه در آن تشكیل شده و فاقد بخش‌های کانسنگی زرد و پیریتی است (شکل ۱۱). مهمترین عواملی که عدم تشكیل کانسنگ‌های زرد و پیریتی در کانسار باریکا را کنترل می‌کنند، ماهیت سیال کانه ساز (از نظر شیمی، دما و شوری) و فاصله داشتن کانسار از توده نفوذی است. این کانسار بعد از تشكیل، درجه پایین دگرگونی (شیست سبز پایینی) و درجه بالای دگرشکلی (میلونیتی شدن) را تحمل کرده است. فرآیندهای دگرگونی و دگرشکلی اعمال شده بر کانسار باریکا، به ایجاد ساختها، بافت‌ها و اشکال جدیدی از کانه‌های طلا، سولفید‌ها و سولفوسالت‌ها در کانسنگ منجر شده است. مراحل تشكیل و توکین کانسار ولکانوژنیک غنی از طلای باریکا در طی فرآیندهای ولکانیسم، دگرگونی و دگرشکلی به صورت زیر است (جدول ۲).

۱- تشكیل کانسار سولفید تودهای غنی از طلا و نقره باریکا به صورت همزمان با ولکانیسم:

کانسار باریکا از نهشت یک سیال هیدروترمال کم دما



شکل ۱۱. مدل تشكیل کانسار سولفید ولکانوژنیک (بالا) و تاریخچه حرارتی سیالات هیدروترمال تخلیه شونده (پایین) بر اساس [۲۱ و ۲۲]. در بالا شکل، موقعیت کانسنگ باریکا، منطبق با کانسنگ سیاه مدل، با کادر آبی نشان داده شده است. در قسمت پایین شکل، شرایط حرارتی سیال.

جدول ۲. مراحل تشکیل و تکوین پنج گانه (همزمان با ولکانیسم تا هوازدگی) کانه‌زایی طلا در کانسار سولفید تودهای غنی از طلای باریکا

نوع رخداد	همزمان با ولکانیسم		دگرگونی				هوازدگی
	زون استرینگ	کانسنگ چینه‌سان(سیاه)	دگرگونی پیش‌رونده	ایجاد پنهانه برushi	دگرگونی برگشتی	رگهای سیلیسی	
نقش فرآیند در کانه‌زایی طلا	تشکیل رگهای سیلیسی سولفید - طلادر	تشکیل کانسنگ‌های سولفیدی، باریتی و سیلیسی (در شرایط نهشت کلودیال) و طلای غیر قابل رویت در سولفیدها	تبولر مجدد کانه‌های سولفیدی	تبولر مجدد کانه‌های سولفیدی	دگرگونی غالباً شکل پذیر و کمتر شکنا	رگهای سیلیسی	گسل‌های نرمال – برش‌های تکتونیکی
ساخت و بافت	رگهای و رگچهای	اغلب تودهای، نیمه تودهای، نواری، کلوفرم، شکستگی‌های همزمان با رسوب‌گذاری	جهت یافتنی پورفیربلاست‌ها، ایجاد حاشیه بلورهای پیبریت	تشکیل و تمرکز طلای قابل مشاهده با میکروسکپ در حاشیه بلورهای پیبریت	تشکیل و تمرکز طلای قابل مشاهده تر میکروسکپ (و حتی با چشم غیرمسلح) در همراهی با سولفوسالتها در فضای ریز شکستگی‌ها و برگوارگی‌ها		ازدادشدن طلا از سولفیدهای هوازد
کانه‌های فلزی	Py,Sph,Gn>Te t-Tn±Cpy±Au	Py>>Ss>Stb>Sp h>,Gn ±Au	Au(electrom)	Ss>>Py>Stb+Sph+ Gn+Au(electrom)			کانه‌های خاصل از هوازدگی کانسنگ سولفیدی
مراحل دگرگشکلی			D1	D2	D3	D4	
زمان				زمان حاضر			
کرتاسه				→			

می‌شود. براساس مطالعات میکروترمو مترا می‌توان کانسنسنگ‌های بخش‌های سیلیسی زون استرینگ و تودهای نواری بخش چینه سان کانسار باریکا، محصول نهشت یک مرحله از سیالات کم‌دمای با شوری پایین می‌باشد که به صورت رخساره ریزدانه کانسنسنگ سیاه (رخساره ۱) نهشته شده‌اند. به علت دمای کم سیال کانه ساز باریکا، فرآیند زون ریفاینینگ، که مستلزم افزایش حرارت سیال، از دمای حدود ۲۰۰ درجه به بالاتر از ۲۸۰ درجه می‌باشد تا گذر کانسنسنگ سیاه به کانسنسنگ زرد و متعاقباً کانسنسنگ پیبریتی را امکان پذیر سازد، رخ نداده است (شکل ۱۱). از این‌رو در کانسار باریکا، به علت نبود زون ریفاینینگ، امکان تشکیل کانسنسنگ‌های زون بندی شده، همانند آنچه که در کانسارهای تکامل یافته کروکو مشاهده شده، وجود نداشته است لذا در بخش کانسنسنگ سیاه، شواهدی از بافت‌های جانشینی دیده نشده است.

یعنی در مرحله دوم در اثر واکنشهای سیالات داغتر ($T=280-350^{\circ}\text{C}$) با کانیهایی که قبلاً در کانسار تشکیل شده بودند، به طور متاسومتیکی کانه‌های اولیه به کانیهای کانسنسنگ سیاه درشت تر (یا رخساره ۲)، سپس به کانسنسنگ زرد غنی از کالکوپیبریت (یا. رخساره ۳) و بالاخره به کانسنسنگ غنی از پیبریت تبدیل می‌شوند.

فرآیند انحلال مجموعه‌های سولفیدی حرارت پایین‌تر و جانشینی آنها توسط سولفیدهای حرارت بالاتر، به عنوان زون پالایش (zone refining) معروف است که برای اولین بار Eldridge et.al برای کانسارهای سولفید تودهای کروکو توصیف گردید [۲۳]. در اغلب موارد، محصول این Zn-Pb تکامل، یک کانسار با زون بندی قائم از کانسنسنگ های است که بر روی کانسنسنگ Cu-Fe قرار گرفته است [۲۴].

Huston et.al معتقدند که در فرآیند زون ریفاینینگ، طلا همراه با روی از بخش‌های زیرین کانسنسنگ سولفید تودهای شسته شده و از Au پس انتقال به صورت یک کمپلکس بی‌سولفید، دوباره در کلاهک غنی از باریت کانسار نهشته

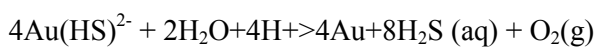
به سولفات، نهشت کانیهای سولفیدی، و رقیق شدگی سیال است. مطالعات میکروترمو متیر سیالات در گیر کانسار باریکا، حاکی از اختلاط سیال هیدرورتمال با آب سرد دریاست که موجب اکسیداسیون H_2S ، افزایش pH و نهشت باریت، سولفید و طلا شده است.

کانی سازی همزمان با ولکانیسم در بخش چینه سان کانسار باریکا، با ایجاد ساخت و بافت‌های رسوبی مانند توده‌ای، نیمه توده‌ای، دانه پراکنده و فرامبوئیدال، که مشخصه نهشت کانسنگ سیاه (رخساره ریزدانه) است، همراه بوده است (شکل ۱۱). بر اساس [۲۷]، در این مرحله از کانی سازی، طلا به صورت غیر قابل رؤیت در داخل پیریت و در همراهی نزدیک با سولفوسالت‌های Pb, As, Sb و دیگر کانیهای سولفیدی و نقره در کانیهای سولفوسالت تمرکز یافته است.

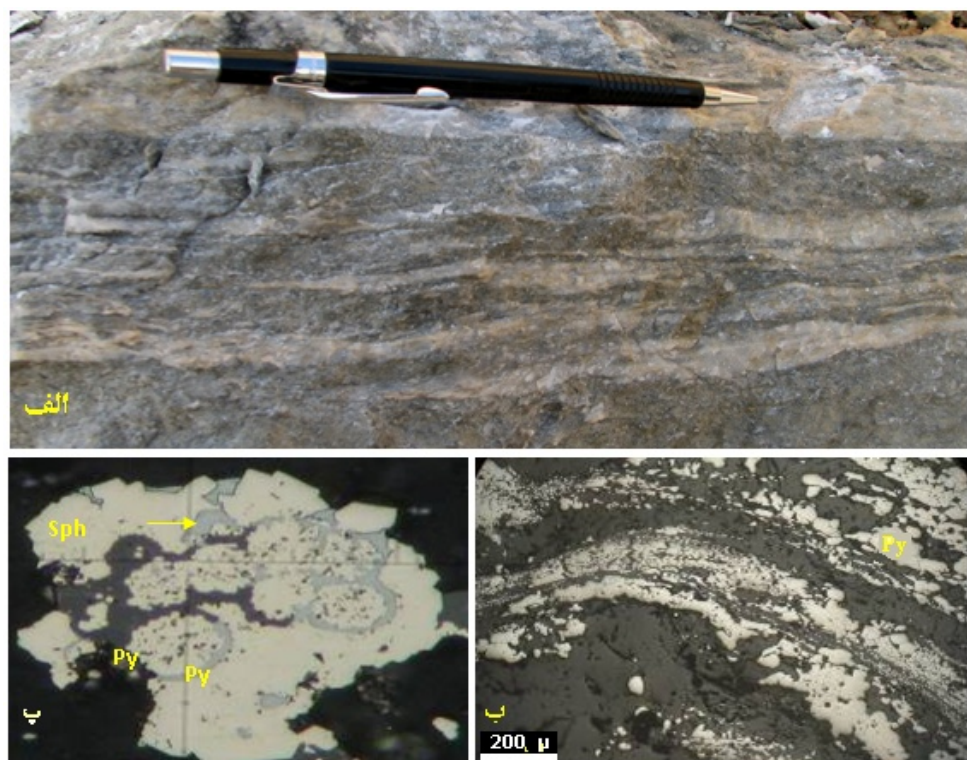
۲-۲ دگرگونی پیش‌رونده کانسار و تمرکز طلا در حاشیه کانه‌های سولفیدی تجدید تبلور یافته
کانسار باریکا بعد از تشكیل، متحمل دگرگونی در حد شیست سبز پایینی شده است. رخداد این پدیده با جهت یافتنی ضعیف پورفیروبلاست‌ها، گسترش برگوارگی (D1) و تشكیل کانیهای ثانوی سرسیست و کلریت همراه است. دگرگونی تأثیر قابل توجهی در تبلور مجدد کانه‌های سولفیدی و تمرکز طلا به صورت الکتروم دارد. عملکرد دگرگونی بر کانسنگ سولفیدی باریکا، به تبلور پیریت‌های فرامبوئیدال، ایجاد پیریت‌های درشت بلور با بافت الحق سه گانه و تشكیل الکتروم در مرز دانه‌های پیریت تبلور یافته منجر شده است (شکل ۱۳). در محیط‌های دگرگونی آبدار، درجه پایین - متوسط دگرگونی، طلا در اثر فرآیند انتقال انحلالی کانه‌های پیریت تجدید تبلور یافته، حرکت نموده و به صورت الکتروم‌های قابل مشاهده با میکروسکپ در حواشی کانه‌ها تمرکز می‌یابد [۲۹].

ساده بودن کانسار باریکا (نبود کانسنگ‌های زرد و پیریتی)، تک مرحله‌ای بودن فعالیت سیستم هیدرورتمال، کوچک بودن کانسار و پایین بودن مقدار مس، به دلیل پایین بودن دمای سیالات هیدرورتمال کانه ساز (حدود ۲۰۰ درجه سانتی گراد) است. دمای پایین سیالات هیدرورتمال، همراه با شواهدی مانند شوری پایین سیالات (کمتر از ۶/۹ درصد وزنی NaCl)، نسبت پایین Cu/Zn (جدول ۱)، پایین بودن مقادیر برخی عناصر کمیاب شاخص سیالات ماگمایی (مانند Tl, Bi, Te و Sn) (جدول ۱) و عدم مشاهده رخنمونهای نفوذی در محدوده کانسار، از دور بودن کانسار نسبت به منشأ حرارتی حکایت دارد.

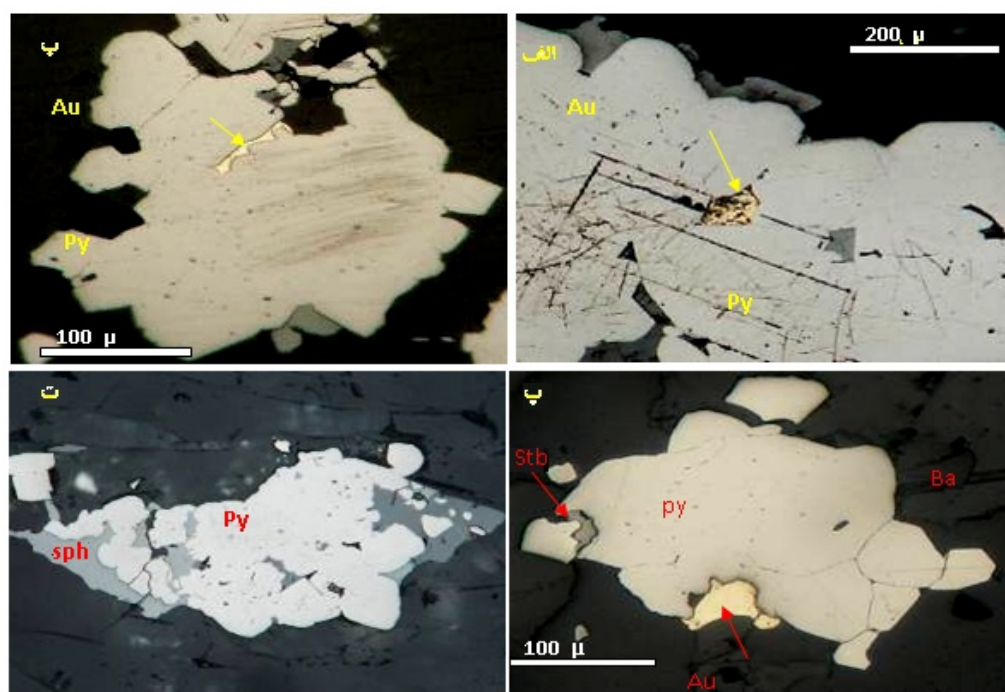
مقدار طلای قابل انتقال در سیال، توسط دمای سیال هیدرورتمال کنترل می‌گردد. به طوری که براساس [۱۷]، عیارهای بالای طلا، توسط سیالات حرارت پایین 200 ± 50 درجه سانتی گراد، با pH نزدیک به طبیعی و احیاء یا توسط سیالات حرارت بالا (< 300 درجه سانتی گراد) با pH اسیدی و اکسیده قابل انتقال است. از این رو سیالات هیدرورتمال کم دمای باریکا (کمتر از ۲۰۰ درجه سانتی گراد)، سیالات احیاء با pH نزدیک به طبیعی بوده‌اند که برای انتقال عیارهای بالای طلا پتانسیل قابل توجهی داشته‌اند. بر اساس [۱۵ و ۱۲] در کانسارهای Au-Zn-Pb-Ag، که کانسار باریکا را نیز شامل می‌شود، طلا به صورت تیوکمپلکس‌ها حمل می‌گردد. نهشت طلا وقتی رخ می‌دهد که سیالات کانه‌دار با آب دریا اختلاط حاصل کنند که موجب اکسیداسیون و افزایش pH [۲۶] و کاهش در مقدار H_2S [۲۵، ۲۴ و ۲۲] می‌گردد. بر طبق معادله زیر، تغییرات ایجاد شده در شیمی سیال، به نهشت طلا می‌انجامد:



سازوکارهایی که تمرکز H_2S را، به هنگام اختلاط سیالات کانه‌دار با آب دریا، کاهش می‌دهند، شامل اکسیداسیون H_2S



شکل ۱۲. نمونه‌هایی از ساخت و بافت‌های همزمان با نهشت کانسنگ در بخش چینه‌سان باریکا: (الف) ساخت نواری حاصل از تناوب باریت و سولفید، (ب) ساخت نواری از تناوب باریت و سولفید در مقیاس میکروسکوپی، در این نمونه آثار تبلور مجدد پیریت مشهود است و (پ) بافت فرامبوئیدال پیریت، که آثار تبلور مجدد در حاشیه بلورها به خوبی دیده می‌شود



شکل ۱۳. نمونه‌هایی از بافت‌های تجدید تبلور یافته پیریت‌های فرامبوئیدال در اثر دگرگونی. در شکل‌های الف، ب و پ، طلا، به صورت الکترون در مرز و حاشیه پیریت‌های تبلور یافته تشکیل شده است. در شکل ت، بخش عمده پیریت، متبلور شده است و بخش کمتر آن آثاری از بافت فرامبوئیدال اولیه را نشان می‌دهد.

رگه‌های سیلیسی این زون، به صورت موازی تا نیمه موازی با برگوارگی‌ها (D_2)، جهت یافته شده‌اند (شکل ۵). شدت دگرشکلی شکل پذیر اعمال شده بر سنگ میزبان کانسار، مناسب با شدت دگرسانی سرسیتی سنگ می‌باشد، به طوری که در متاولکانیک‌های دگرسان شده‌ای که با کانیهای سرسیتی بیشتری همراه هستند، ساختارهای شکل پذیر مانند چین خوردگی و برگوارگی بیشتر توسعه یافته است.

دگرشکلیهای نوع شکنا، در کانسنگ‌های سیلیسی و پیریتی بخش چینه سان و رگه‌های سیلیسی زون استرینگ قابل مشاهده است. عملکرد دگرشکلی بر رگه‌های سیلیسی زون استرینگ، علاوه بر چین خوردگی و بودین شدگی رگه‌ها، تحرك مجدد سیلیس و Pb به فضاهای کششی ایجاد شده در طی دگرشکلی و تشکیل رگه‌های سیلیسی گالن دار در فضاهای مذکور را منجر شده است. رگه‌های سیلیسی اخیر با ضخامت حداقل ۲ سانتی‌متر، در جهت تقریباً عمود بر روند رگه‌های سیلیسی میزبان گسترش دارند (شکل ۱۶).

عملکرد دگرشکلی علاوه بر تغییر در بافت‌های اولیه کانسنگ و ایجاد ساخت و بافت‌های حاصل از دگرشکلی، در تحرك مجدد عناصر و ایجاد کانه‌های جدید نقش داشته است. در بخش کانسنگ چینه سان کانسار باریکا، شواهد و مدارک آشکاری بر تحرك دوباره عناصر As, Ag, Sb و Pb همراه با طلا، و تشکیل کانه‌های نوظهور سولفوسالتی و الکتروم در اثر عملکرد دگرشکلی وجود دارد، گرچه مواد تجدید تحرك یافته کانه‌ها ظاهرآ فراتر از حواشی پیکره‌های معدنی و منطقه بندی فلزی اولیه حرکت نکرده اند. مهمترین کانه‌های سولفوسالتی که در مرحله دگرشکلی تشکیل شده و اغلب در فضای ریز درز و شکستگیها تشکیل شده‌اند، شامل بورونیت-بولانزیریت، استفانیت، پیرارژیریت، ترچمنیت، میارژیریت، آندوریت، ژئوکرونیت، گوتاردیت، تتوینیت-وینیت می‌باشند که در همراهی با ذرات درشت تر الکتروم حضور دارند. در فضاهای ایجاد شده توسط دگرشکلی‌ها، اثربازی از کانه‌های اولیه سولفیدی (پیریت، اسفالریت و گالن) مشاهده نشده است. تقریباً تمامی ریز رگچه‌های حاصل از دگرشکلی شکنا موجود در نوارهای سیلیسی باریکا، توسط کانه‌های سولفوسالت و طلا پر شده‌اند (شکل ۱۷).

۳- دگرشکلی و تمرکز طلا در فضای برگوارگی‌ها و ریز شکستگیها

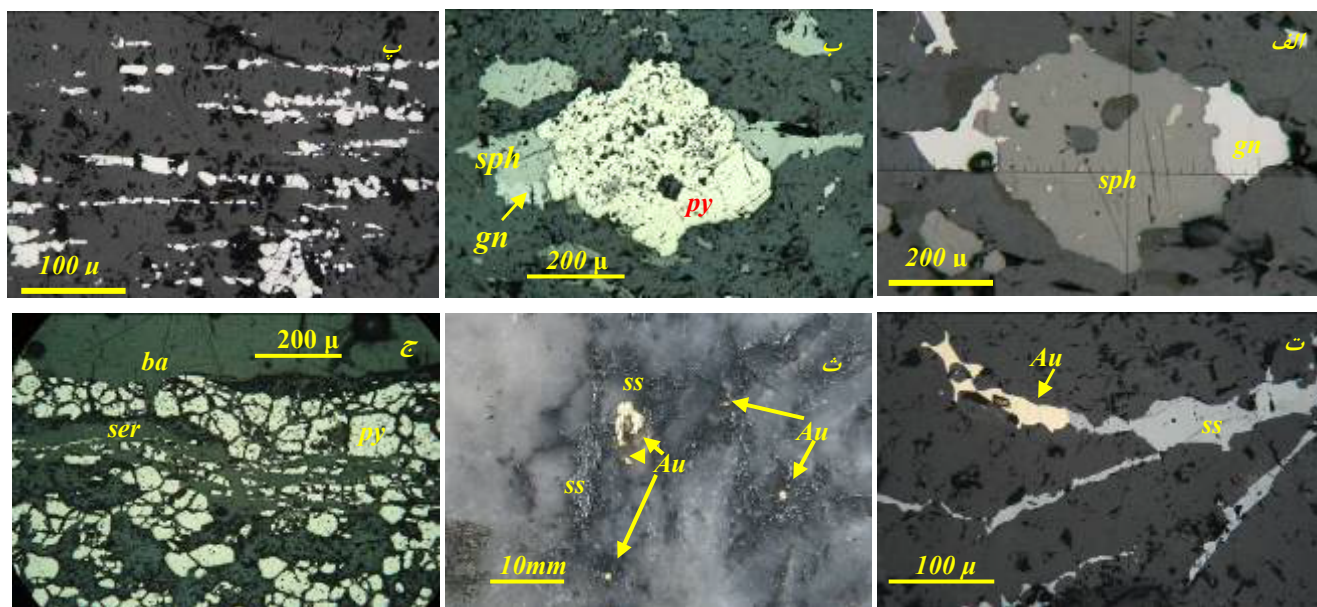
در مرحله‌ای از فرآیند دگرگونی پیش‌روند، تنش اعمال شده بر کانسار باریکا و سنگ‌های دگرسان شده میزبان آن، به تشکیل پهنه برشی باریکا همراه با ساختارهای دگرشکلی شکل پذیر و شکنا (D_2) در کانسار و سنگ‌های میزبان آن منجر شده است. روند برگوارگی‌های حاصل از دگرشکلی با روند برگوارگی دگرگونی (D_1) و طبقه‌بندی سنگها (S0) هم‌راستا است. ژئومتری، شدت و روند پهنه برشی، توسط ژئومتری، شدت و روند پهنه دگرسانی باریکا کنترل می‌شود، به طوری که گستره عملکرد پهنه برشی، به طور کامل با گستره کانسار باریکا و زون دگرسانی میزبان آن منطبق است و بیشترین شدت دگرشکلی بر کانسار باریکا (بخش چینه سان) مطابقت دارد. براساس [۳۰]، کانسارهای VMS به‌علت ماهیت شکل پذیر بودن پیکره‌های سولفید توده‌ای، به راحتی با استرین ایجاد شده در طی دگرشکلی ناحیه‌ای سازگار می‌شوند و بنابراین می‌توانند درجات بالاتری از تبلور مجدد و تحرك دوباره نسبت به چینه‌های ولکانیک و رسوبی دربرگیرنده را نشان دهند. بر اساس پتروگرافی نمونه‌های دگرشکل شده کانسار باریکا، بیش از ۹۰ درصد ساختارهای دگرشکل مشاهده شده، از نوع شکل پذیر است.

عملکرد پهنه برشی باریکا بر بخش کانسنگ چینه سان، عمده‌تاً با ایجاد ساختارهای شکل پذیر مانند نوار بندی کانه‌ها، ایجاد برگوارگی، ایجاد فابریک‌های C و S، بودین شدگی و چین خوردگی در کانسنگ‌های سولفیدی و باریتی و به مقدار کم با ایجاد دگرشکلی شکنا به صورت بافت‌های کاتاتکلاستیک در پیرویت‌ها و تشکیل ریز شکستگیها در نوارهای سیلیسی مشهود است (شکلهای ۱۴ و ۱۵). از مهمترین این شواهد، نواربندی سولفوسالتها همراه با بافت‌های دگرشکلی به موازات برگوارگی‌ها (D_2) و تمرکز سولفوسالتها همراه با طلا در فضای‌های ریز شکستگی‌های کوارتز می‌باشد. بر اساس [۳۰]، در کانسارهای VMS، کانه‌های نواری شده می‌توانند محصول تبلور مجدد دینامیک سولفیدها در طی رخدادهای دگرگونی ناحیه‌ای بوده باشند.

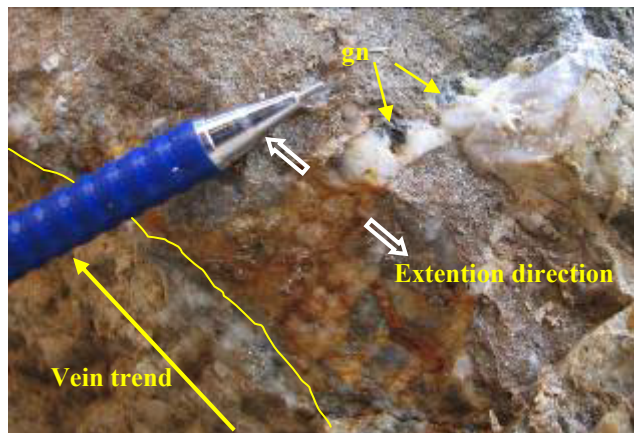
عملکرد پهنه برشی باریکا بر زون استرینگ، به چین خوردگی، بودین شدگی و ایجاد شکستگی در اغلب رگه‌های سیلیسی زون استرینگ منجر شده است و اغلب



شکل ۱۴. عملکرد دگر‌شکلی در مقیاس رخمنون و نمونه دستی: دگر‌شکلی به صورت چین خوردگی در (الف) تناب سولفید - باریت و (ب) در سولفید توده‌ای. (پ) بودین شدگی در نوارهای باریتی (بخش‌های روشن). بخش‌های تیره، سولفید (عمدتاً ییریت) ها می باشد. (ت) دگر‌شکلی در کانسنگ باریتی در بخش‌های توده‌ای و ضخیم لایه و ایجاد فابریک‌های C و S.



شکل ۱۵. ساخت و بافت‌های حاصل از دگر‌شکلیهای ایجاد شده در بخش کانسنگ چینه سان باریکا. (الف و ب): بافت سایه فشاری، (پ): تشکیل سولفوسالت (ss) و طلا (Au) در شکستگیهای کانسنگ سیلیسی، (ث) طلا و سولفوسالت‌ها در شکستگیهای کانسنگ سیلیسی، که با چشم غیرمسلح قابل مشاهده‌اند، (ج) بافت کاتاکلاستیک پیریت در زمینه‌ای از باریت (ba) و سرسیت (ser) قرار دارد.



شکل ۱۶. نمایی از رگه سیلیسی زون استرینگ که در اثر عملکرد دگرشکلی نوع شکنا توسط مجموعه ای از رگچه های سیلیسی با راستای عمود بر روند رگه سیلیسی میزبان قطع شده اند. رگچه های سیلیسی قطع کننده، در اثر کشش حاصل از دگرشکلی تشکیل شده و معمولاً با گالن (gn) همراه هستند.

۴- دگرگونی برگشتی و تشكیل رگه های سیلیسی فاقد کانه:

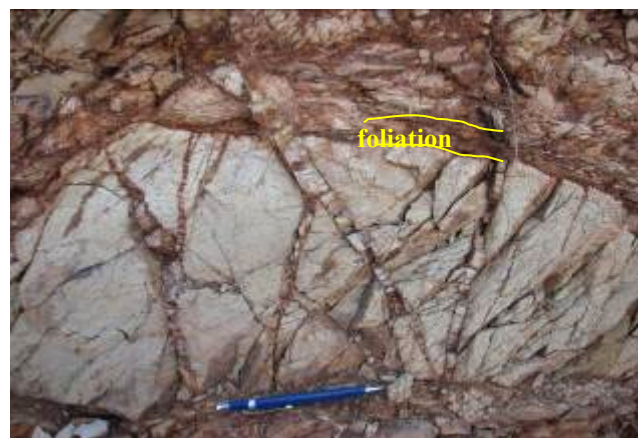
مرحله دگرشکلی (D_3) در محدوده باریکا، به صورت ایجاد شکستگیهای کششی کم شیب (flat- lying tensional veins)، که با رگه های سیلیسی سفید رنگ در ضخامت های کمتر از $0/5$ متر اشغال شده اند، نمود یافته است. رگه های سیلیسی تشكیل شده در این مرحله از دگرشکلی، فاقد کانه زایی طلا و عناصر فلزات پایه می باشند و با یک همبrij تند و واضح، کلیه نمودهای کانه زائی و دگرشکلی قبلی (D_2) را قطع نموده اند (شکل ۱۷).

مرحله آخر دگرشکلی (D_4) شامل یک دسته گسلهای نرمال با شیب تند است که بخش های مختلف کانسار را حداکثر چند متر در جهت شیب گسل جابه جا نموده اند. اگرچه در محدوده کانسنگ چینه سان باریکا، برخی از گسلهای مذکور میزبان برش هایی هستند که از قطعات کانسنگ باریکی و سولفیدی تشكیل شده اند (شکل ۱۸)، ولی در خارج از محدوده کانسار، این گسلها عموماً فاقد پرشدگی توسط رگه ها و یا اجزای برشی می باشند

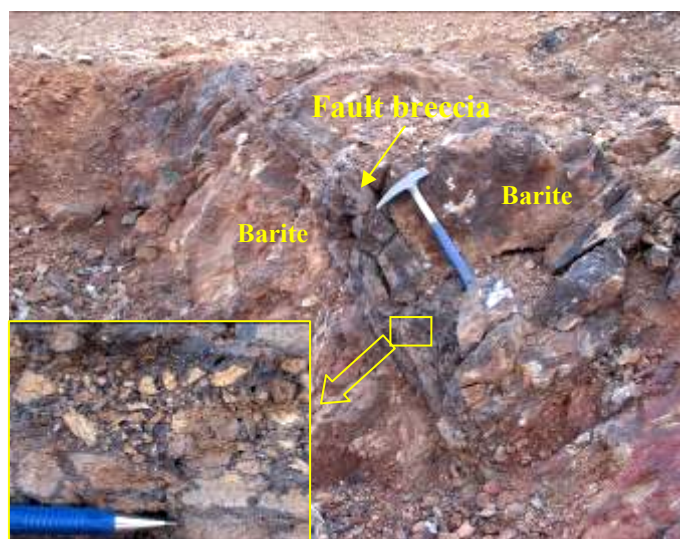
و حتی طلا به صورت قابل رویت با چشم (در اندازه تا ۳ میلی متر)، همراه با کانه های سولفوسالت در فضای ریز رگچه ها مشاهده می شود (شکل ۱۵ ث).

Huston et al., پیشنهاد کردند که در ذخایر غیر دگرشکل یا با دگرشکلی خیلی ضعیف، طلا به صورت غیر قابل رویت در پیریت طladار و یا آرسنوبیریت طladار حضور دارد، در حالی که در ذخایری که تحت تأثیر دگرشکلی قرار گرفته اند، الکتروم مهمترین کانی طلا است [۲۹]. وقتی که پیریت های طladار در اثر فرآیندهای دگرشکلی بعدی تبلور مجدد پیدا می کنند و یا وقتی که پیریت شکسته می شود (بافت کاتاکلاستیک)، طلا به راحتی از طریق سازو کارهای انحلال نهشته به سمت شکستگیها و مرز دانه مهاجرت می کند تا در ترکیب با نقره ای که به روش مشابه از کانیهای سولفیدی آزاد شده است، الکتروم میکرو سکپی را تشكیل دهد. با افزایش تنش وارد شده، الکتروم از پیریت آزاد می شود تا همراه با دیگر کانیهای مانند گالن، که به راحتی متحرک می شوند، مجدداً متبلور گردد. در طی این فرآیند، اندازه دانه الکتروم افزایش می یابد.

مراحل مختلف چنین فرآیندی به خوبی در کانسار باریکا، قابل مشاهده است. در کانسار باریکا، کانیهای درشت الکتروم (تا ۳ میلی متر)، همواره در همراهی با کانه های سولفوسالت، که به آسانی متحرک می شوند، دیده می شوند (شکل ۱۵ ج).



شکل ۱۷. رگه‌های سیلیسی سفید رنگ فاقد که در شکستگیهای کششی تشکیل شده و برگوارگی‌ها را قطع نموده‌اند.



شکل ۱۸. ساخت برشی در محدوده معدن باریت. برشهای گسلی از قطعات زاویه دار باریت و متاولکانیک‌های دگرسان شده تشکیل یافته‌اند.

توده‌ای باریکا، موضعی و کم اهمیت بوده و آثار آن بصورت تشکیل موضعی گوسان و رخداد کانه‌های مالاکیت، آزوریت، کالکوسیت و کوولیت در بخش کانسنگ چینه سان کانسار مشاهده شده است. در جدول ۳، توالی پارازیزی کانسنگ‌های باریکا آمده است.

ارزیابی پتانسیل اقتصادی کانسار باریکا بر اساس مطالعات اخیر، کانسار باریکا یک کانسار سولفید توده‌ای ولکانو ژئیک از نوع کروکو است که فقط بخش کانسنگ سیاه در آن تشکیل شده است. بر اساس [۲۱ و ۲۲]، پایین بودن نسبت Cu/Zn (کمتر از ۰/۳) در

۵- هوازدگی:

این فرآیند به طور ضعیف بخش‌هایی از کانسنگ‌های سولفیدی کانسار باریکا را متأثر ساخته است. شایعترین چهره ناشی از عملکرد این فرآیند، تشکیل گوسان در بخش‌های محدودی از کانسنگ‌های سولفیدی است. عملکرد هوازدگی بر روی سولفوسالت‌های مس‌دار (مانند تترائدریت) و اسفالریت به جانشینی کالکوسیت و کوولیت از محل شکستگیها و حواشی کانه‌ها منجر شده است. در محدوده کانسنگ سولفیدی و باریتی کانسار، آثار ضعیفی از کانه‌زایی مس به صورت مالاکیت و آزوریت در سطح درز و شکستهای قابل مشاهده است. به طور کلی، نقش هوازدگی بر کانسار سولفید

جدول ۳. توالی پارازنر کانیها و فرآیندهای مهم زمین‌شناسی در کانسار باریکا

نوع رخداد زمین‌شناسی	همزمان با ولکانیسم		دگرگونی			هوایزدی
	کانسنگ چینه سان (توده‌ای) و نواری	زون استرنگر (استوک ورک)	دگرگونی پیشونده (D1)	D2	دگرگونی برگشتی (D3-D4)	
پارازنر و کانسنگ	پیرودت	----	-----	-----	-----	-----
	استنلوریت	----	-----	-----	-----	-----
	صلان	----	-----	-----	-----	-----
	ترانزدیت نیکلت	----	-----	-----	-----	-----
	اسپنیت لبنت	----	-----	-----	-----	-----
	Hg و Ag- As- Sb- Pb	-----	-----	-----	-----	-----
	طلاء (اخذ بصورت غیر فلزی رویت با میکروسکوپ)	-----	-----	-----	-----	-----
	الکتروم (قابل مشاهده در زیر میکروسکوپ و با جسم)	-----	-----	-----	-----	-----
	کالکتوسیت کووللت، مالاکیت آزووردت	-----	-----	-----	-----	-----
کانیهای اصلی باطله	پاریت	-----	-----	-----	-----	-----
	کوارتز	-----	-----	-----	-----	-----
نوع دگرگونی	مشکل پیدایر	-----	-----	-----	-----	-----
	مشکنا	-----	-----	-----	-----	-----
نوع کانه رانی	همزمان با نیست	-----	-----	-----	-----	-----
	برکنندۀ فضای حالي	-----	-----	-----	-----	-----
	جلانسی	-----	-----	-----	-----	-----

کانسار بر اساس معیارهای [۲۱] (شکل ۱۱)، یک کانسار کوچک ارزیابی می‌گردد. بخش عمده کانسنگ (طلاء و نقره) منطبق با بخش چینه سان کانسار بوده و از کانسنگ‌های سولفید و باریت توده‌ای - نواری و مقادیر کمتر (حدود ۱۰ درصد) کانسنگ سیلیسی تشکیل شده است.

بر اساس نتایج آنالیز نمونه‌های برداشت شده از بخش‌های مختلف کانسنگ سولفید و باریت توده‌ای، مقدار میانگین طلا و نقره به ترتیب ۸/۲۶ و ۴۲۰ گرم بر تن برآورد شده است (جدول ۱). مقدار بالای طلا و نقره در بخش‌های سولفیدی و باریتی، استخراج این دو فلز گرانبهای را از بخش چینه سان کانسارد ر یک مقیاس محلی توجیه‌پذیر می‌نماید، گرچه با توجه به مقدار نسبتاً بالای برخی عناصر مزاحم (As, Sb, Hg,)، طیف گسترده در اندازه کانیهای طلا (از کمتر از ۵ تا ۳۰۰۰ میکرون) و تنوع کانیهای میزبان طلا می‌باید در انتخاب روش‌های مناسب فرآوری و استحصال طلا و نقره که هم از نظر اقتصادی مقرن به صرفه باشد و هم استانداردهای

کانسار باریکا، علاوه بر این‌که فاصله داشتن کانسار از منشأ حرارتی و ساده شدن تیپ کانسنگ را نشان می‌دهد، بر کوچک بودن کانسار باریکا نیز دلالت دارد.

در سالهای ۱۳۸۵-۱۳۸۱، کانسار باریکا، یک معدن باریت فعال بود. پس از معرفی کانسار باریکا به عنوان کانسارتی با عیارهای قابل توجه طلا و نقره در بخش‌های سولفیدی و باریتی، این کانسار به عنوان کانسار طلا مورد توجه قرار گرفت و از سال ۱۳۸۶ عملیات اکتشافی طلا بر روی کانسار باریکا به اجرا در آمد. ارزیابی پتانسیل اقتصادی طلا و فلزات پایه در دو نوع کانسنگ (۱) چینه سان (سولفید و باریت توده ای) و (۲) زون استرینگ کانسار قابل بررسی است.

(۱) کانسنگ چینه سان (سولفید و باریت توده ای) براساس [۷]، کانسار باریکا یک کانسار سولفید توده ای Au-Zn-Pb-Ag و بر اساس [۲۲]، یک کانسار سولفید توده ای از نوع کروکو می‌باشد که در آن تنها بخش کانسنگ سیاه تشکیل شده و فاقد کانسنگ‌های زرد و پیریتی است. این

(۳) نسبت روی (Zn/(Zn + Pb)) در رگه‌های سیلیسی زون استرینگ به میزان قابل توجهی پایین‌تر از این نسبت در اغلب کانسارهای سولفید فلزی تیپیک فانروزوئیک است. پایین بودن نسبت روی در این رگه‌ها، به این معناست که سیال کانه‌سازی که رگه‌های استرینگ را به وجود آورده، نسبت به فلزات روی و سرب تحت اشباع بوده است و لذا این رگه‌ها ماهیتاً فاقد پتانسیل اقتصادی برای دو فلز روی و سرب می‌باشند، به طوری که میانگین مجموع عناصر سرب و روی در بخش‌های مختلف رگه‌های سیلیسی زون استرینگ حدود ۰/۲۵ درصد است.

(۴) با توجه به پایین بودن دمای و شوری سیال کانه‌ساز، احتمال تشکیل مقادیر قابل توجه کالکوپیریت و بورنیت در رگه‌های سیلیسی زون استرینگ منتفی است و بخش مهم مس موجود در رگه‌های سیلیسی مذکور، که میانگین مقدار آن حدود ۱۵/۰ درصد است، عمدتاً در تترادریت - تنانتیت تمرکز یافته است.

با توجه به این که عیارهای بالاتر طلا (۱-۵ گرم درتن) برای رگه‌های سیلیسی زون استرینگ، در دو موقعیت (الف) زیر بخش کانسنگ سولفید و باریت توده‌ای و (ب) ترازهای بالاتر توپوگرافی در منتها ایه شمالي گستره زون استرینگ به ثبت رسیده است، به نظر می‌رسد دو عامل نزدیکی به کف دریا و موقعیت ارتفاعی رگه‌های سیلیسی، به مقدار زیادی عیار طلا و دیگر فلزات موجود در رگه‌های سیلیسی زون استرینگ را کنترل می‌نمایند. بدیهی است سیالات هیدروترمال سازنده رگه‌های سیلیسی که در نزدیک به کف دریا (زیر بخش چینه‌سان) جای‌گیر شده‌اند، با حجم بیشتری از آب سرد دریا و اکتش انجام داده‌اند و با سرعت بیشتری طلا و دیگر عناصر را نهشته ساخته‌اند.

در رابطه با نقش ترازهای بالاتر توپوگرافی در افزایش عیار طلا و دیگر عناصر باید گفت که سیالات هیدروترمال کانه‌سازی که به شکستگیهای واقع در ترازهای بالاتر توپوگرافی راه یافته‌اند، با حجم بیشتری از سنگ واکنش نموده و با کاهش بیشتر دما و تغییرات بیشتر در pH و درجه شوری سیال در ترازهای بالاتر توپوگرافی، مقادیر بالاتری از طلا و دیگر عناصر را به جای گذاشته‌اند.

زیست محیطی را رعایت نماید، ملاحظات لازم را به کار گرفت. کانسار باریکا، به علت پایین بودن نسبت روی (Zn/(Zn + Pb)) ۱۰۰، که خود متأثر از تحت اشباع بودن سیال از فلزات روی و سرب است، از اغلب کانسارهای سولفید توده‌ای فانروزوئیک متمایز بوده و قادر پتانسیل اقتصادی برای دو فلز روی و سرب می‌باشد، به طوری که میانگین مجموع عناصر سرب و روی در بخش‌های مختلف کانسنگ چینه سان کانسار از ۰/۵٪ است.

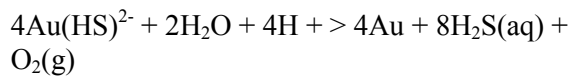
از طرف دیگر به علت پایین بودن دما و شوری سیال کانه‌ساز، کانسار باریکا قادر کانسنگ زرد است، لذا احتمال حضور بخش‌های غنی از کالکوپیریت، بورنیت و اسفالریت در بخش چینه سان کانسار منتفی است. میانگین مقدار مس در بخش چینه سان کانسار کمتر از ۱٪ درصد است که عمدتاً در کانه‌های سولفوسالتی، مانند تترادریت تمرکز یافته است.

۱) رگه‌های سیلیسی زون استرینگ:

رگه‌های سیلیسی زون استرینگ در ضخامت‌های کمتر از ۱ متر (متوسط ۲۰-۳ سانتی‌متر) با پراکندگی نامنظم در گسترهای به طول حدود ۲ کیلومتر و در پهنه‌ای کمتر از ۵۰۰ متر عمدتاً در کمرپایین دگرسان شده کانسنگ چینه سان باریکا گسترش دارند. رگه‌های سیلیسی زون استرینگ، که از نظر تمرکز فلزات پایه و طلا غنی ترین بخش زون استرینگ می‌باشند، به چند علت از نظر فلزات گرانبهای پایه از ارزش اقتصادی قابل قبولی برخوردار نیستند:

ضخامت اغلب رگه‌های سیلیسی کانه‌دار، ۳-۲۰ سانتی‌متر و عیار میانگین طلا و نقره در آنها به ترتیب ۰/۷۲ و ۳۱ گرم درتن است. همچنین عیار طلا و نقره در سنگ میزبان دگرسان شده رگه‌ها، معمولاً به ۱/۵ تا ۱/۲ عیار این فلزات در رگه‌ها کاهش می‌یابد.

(۲) حجم پایین کانه زایی فلزی در رگه‌ها: با توجه به این که کانسار باریکا، در محدوده کانسارهای کوچک است و نظر به این که بطور تیپیک بیش از ۹۰ درصد محتوای فلزی موجود در یک کانسار سولفید توده‌ای در بخش توده ای و چینه سان و کمتر از ۱۰ درصد آن در زون استوک ورک کانسار یافت می‌شود [۲۲]، لذا حجم کانه زایی در رگه‌های سیلیسی زون استرینگ به مرتب کمتر از بخش کانسنگ سولفیدی و باریتی کانسار است و نمی‌توان کانه زایی قابل توجه را از فلزات پایه و گرانبهای در رگه‌های سیلیسی زون استرینگ انتظار داشت.



کانی‌سازی همزمان با ولکانیسم در بخش چینه سان کانسار باریکا، با ایجاد ساخت و بافت‌های رسوبی مانند تودهای، نیمه تودهای، دانه پراکنده، و فرامبوئیدال که مشخصه نهشت کانسنگ سیاه (رخساره ریز دانه) است، همراه بوده است. در این مرحله از کانی‌سازی، طلا به صورت غیر قابل رویت در داخل پیریت و در همراهی نزدیک با سولفوسالت‌های Pb, As, Sb و

دیگر کانیهای سولفیدی تمرکز داشته است.

۲- دگرگونی پیش‌رونده کانسار و تمرکز طلا در حاشیه‌های کانیهای سولفیدی تجدید تبلور یافته: کانسار باریکا بعد از تشکیل متحمل دگرگونی در حد شیست سبز پایینی شده است که رخداد این پدیده با جهت یافتنگی ضعیف پورفیروblastها، گسترش برگوارگی (D₁) و تشکیل کانیهای ثانوی کلریت و سرسیت همراه شده است. عملکرد دگرگونی بر کانسنگ سولفیدی باریکا، به تبلور پیریت‌های فرامبوئیدال، ایجاد پیریت‌های درشت بلور با بافت الحق سه گانه منجر شده است و تشکیل الکتروم در مرز دانه‌های پیریت تبلور یافته منجر شده است.

۳- دگرشکلی حاصل از عملکرد پهنه برشی در کانسار باریکا و تمرکز طلا در فضای برگوارگی‌ها و ریز شکستگیها: در مرحله‌ای از فرآیند دگرگونی پیش‌رونده، تنفس اعمال شده بر کانسار باریکا و سنگهای دگرسان شده میزبان آن، به تشکیل پذیر و پهنه برشی باریکا همراه با ساختارهای دگرشکلی شکل پذیر و شکنا (D₂) در کانسار و سنگهای میزبان آن منجر شده است. عملکرد دگرشکلی علاوه بر تغییر در بافت‌های پیشین کانسنگ و ایجاد ساخت و بافت‌های حاصل از دگرشکلی (مانند نوار بنده کانه‌ها، ایجاد برگوارگی، بودین شدگی، چین خوردگی، سایه فشاری و... در کانه‌ها)، در تحرک مجدد عناصر و ایجاد کانه‌های جدید نقش داشته است. در محدوده کانسنگ‌های سولفیدی، باریتی و سیلیسی باریکا شواهد و مدارک آشکاری بر تحرک دوباره کانیهای Pb, As, Ag, Sb و همراه با طلا، در اثر عملکرد دگرشکلی وجود دارد. از مهمترین شواهد تشکیل کانه‌های جدید در طی مرحله دگرشکلی و رخداد طلا (به صورت الکتروم) درشت دانه (حتی به صورت قابل مشاهده با چشم غیرمسلح) در فضاهای ایجاد شده در این مرحله از دگرشکلی تمرکز یافته‌اند.

۴- دگرگونی برگشتی کانسا باریکا و تشکیل رگه‌های سیلیسی

نتیجه‌گیری

کانسار باریکا، یک کانسار سولفید تودهای غنی از طلا و نقره است که بر خلاف اغلب کانسارات کانسارات سولفید تودهای ای جهان، مقدار مجموع فلزات پایه در آن به نحو چشم‌گیری پایین است (wt % Zn + Pb + Cu < 1). این کانسار دارای دو بخش چینه‌سان و زون استرینگ است که در واحد متاولکانیک آندزیتی (K^{Mv1}) جای گرفته‌اند.

مطالعات انجام شده در این پژوهش حاکی از آن است که کانسار باریکا شکل ناقص و تکامل نیافته از یک کانسار نوع کروکو می‌باشد که تنها کانسنگ سیاه در آن تشکیل شده و قادر باختهای کانسنگی زرد و پیریتی است. مهمترین عواملی که عدم تشکیل کانسنگ‌های زرد و پیریتی در کانسار باریکا را کنترل می‌کنند، ماهیت سیال کانه‌ساز (از نظر شیمی، دما و شوری) و فاصله داشتن کانسار از توده نفوذی است. این کانسار بعد از تشکیل، درجه پایین دگرگونی (شیست سبز پایینی) و درجه بالای دگرشکلی را تحمل کرده است. فرآیندهای دگرگونی و دگرشکلی اعمال شده بر کانه‌زایی ولکانوژنیک، به ایجاد ساختهای، بافت‌ها و اشکال جدیدی از کانه‌های طلادر کانسنگ منجر شده است. مراحل تشکیل کانسنگ طلادر ولکانوژنیک و رخدادهای بعد از تشکیل کانسنگ اولیه، به صورت زیر است.

۱- تشکیل کانسار سولفید تودهای غنی از طلا و نقره باریکا به صورت همزمان با ولکانیسم: براساس مطالعات سیالات، درگیر کانسنگ‌های باختهای سیلیسی زون استرینگ و تودهای نواری باخته یافته از چینه سان کانسار باریکا، محصول نهشت سیالات کم دما (کمتر از ۲۰۰ درجه سانتی گراد) با شوری پایین (کمتر از ۶/۹ درصد وزنی NaCl) می‌باشد که به صورت رخساره ریزدانه کانسنگ سیاه نهشت یافته است. به علت دمای کم سیال کانه‌ساز، در کانسار باریکا، فرآیند زون ریفارینینگ، که مستلزم افزایش دمای سیال، از دمای حدود ۲۰۰ درجه به بالاتر از ۲۸۰ درجه می‌باشد تا گذر کانسنگ سیاه به کانسنگ زرد و متعاقباً کانسنگ پیریتی را امکان پذیر سازد، رخ نداده است.

مطالعات میکروترموتری سیالات درگیر کانسار باریکا، حاکی از اختلاط سیال هیدروترمال با آب سرد دریاست که موجب اکسیداسیون H₂S، افزایش pH و نهشت باریت، سولفید و طلا شده است. تغییرات ایجاد شده در شیمی سیال، بر طبق معادله ذیل، به نهشت Au منجر می‌گردد:

- O.R., Sinclair, W.D., and Thorpe, R.I., eds., "Geology of Canadian mineral deposit types", *Geology of Canada, vol.*, (1996) 183-196.
- [2] Hannington M.D., Poulsen K.H., Thompson J.F.H., Sillitoe R.H. "Volcanogenic gold in massive sulfide environment: Reviews in Economic Geology", (1999) 325-356.
- [3] Poulsen K.H., Robert F., Dubé B., "Geological Classification of Canadian Gold Deposits", Geological Survey of Canada Bulletin, (2000) 540, 106.
- [4] Dubé B., Gosselin P., Mercier-Langevin P., Hannington M., Galley A., "Gold rich volcanogenic massive sulphide deposits, in Goodfellow", W.D., ed., "Mineral deposits of Canada—A synthesis of major deposit-types, district metallogeny, the evolution of geological provinces, and exploration methods: Geological Association of Canada", Mineral Deposits Division, Special Publication no., (2007) 75-94.
- [۵] تاج‌الدین ح.، "گزارش اکتشاف ذخیره جدید طلای باریکا (خاور سردهشت) . سازمان زمین‌شناسی و اکتشافات معدنی کشور" ، (۱۳۸۲).
- [۶] یارمحمدی ع.، کانی‌شناسی، ژئوشیمی، "ساخت و بافت و ژئر کانه زائی طلا (نقره، فلزات پایه و باریت) در محدوده معدنی باریکا، شرق سردهشت" ، پایان نامه کارشناسی ارشد، دانشکده علوم پایه، دانشگاه تربیت مدرس، (۱۳۸۵).
- [7] Large R.R., Huston D.L., McGoldrick P.J., Ruxton P.A., "Gold distribution and genesis in Australian volcanogenic massive sulfide deposits and their significance for gold transport models. Econ. Geol. Mon.", (1989) 520-563
- [8] Huston D.L." Gold in volcanic-hosted massive sulfide deposits; distribution, genesis, and exploration", in Hagemann, S.G. ed, "Gold in 2000: Reviews in Economic Geology", (2000) 401-426.
- [۹] یارمحمدی، ع.، راستاد، ا.، مجله، م.، شمسا، م.ج.، رخداد طلای باریکا: کانه زایی تیپ ماسیو‌سولفید و لکاتوژنیک غنی از طلا در ایران، خلاصه مقالات بیست و چهارمین گردهمایی علوم زمین، سازمان زمین‌شناسی و اکتشافات معدنی کشور (۱۳۸۴)
- [10] Mohajjal M., Fergusson C.L., Sahandi M.R. "Cretaceous-Tertiary convergence and continental collision, Sanandaj-Sirjan Zone, western Iran. J. Asian Earth Sci". 21(2003) 397-412.

فاقد کانه و گسل خوردگی: مرحله دگرشکلی D_3 ، به صورت ایجاد شکستگیهای کششی کم شیب، که با رگه‌های سیلیسی سفید رنگ در ضخامت های کمتر از $0/5$ متر اشغال شده‌اند، مشخص می‌شوند. رگه‌های سیلیسی تشکیل شده در این مرحله فاقد کانه‌زایی طلا و دیگر عناصر فلزی می‌باشند و با یک همبrijی تند و واضح، کلیه نمودهای کانه‌زایی و دگرشکلی قبلی (D_2) را قطع نموده است.

مرحله آخر دگرشکلی (D_4) شامل یک دسته گسلهای نرمال با شیب تند است که بخش‌های مختلف کانسار را حداکثر چند متر در جهت شیب گسل جابه‌جا کرده است.

- ۵ - هوازدگی: این فرآیند به طور موضعی کانسنگ‌های سولفیدی کانسار باریکا را متأثر ساخته است و آثار آن به صورت تشکیل موضعی گوسان و آزاد سازی مقادیر کمی از مس به صورت آغشتگی مالاکیت، آزوریت ، کالکوسبیت و کوولیت قابل مشاهده است.

بر اساس نتایج مطالعات سیالات در گیر و شواهد ژئوشیمیایی موجود (مانند فراوانی برخی عناصر کمیاب، پایین بودن نسبتهای روی و Cu/Zn) کانسار باریکا، در فاصله دور از منشأ نفوذی تشکیل شده و جزو کانسارهای کوچک ارزیابی می‌گردد. این کانسار تنها از نظر طلا و نقره موجود در بخش چینه‌سان از اهمیت اقتصادی برخوردار است و از نظر پتانسیل فلزات پایه فاقد ارزش اقتصادی است، به طوری که مجموع فلزات پایه در بخش‌های مختلف کانساری همواره کمتر از ۱ درصد است.

سپاسگزاری

عملیات اجرایی و اکتشافی این تحقیق در قالب طرح‌های اکتشافی سازمان زمین‌شناسی و اکتشافات معدنی کشور بانجام رسیده است، لذا از آقای مهندس ناصر عابدیان، معاون محترم اکتشاف سازمان زمین‌شناسی و اکتشافات معدنی کشور و آقای مهندس بهروز بربار، مدیر محترم امور اکتشافات معدنی سازمان زمین‌شناسی و اکتشافات معدنی کشور، که امکانات صحرائی و آزمایشگاهی لازم جهت انجام این تحقیق را فراهم آورده اند، صمیمانه تقدیر و تشکر می‌نمائیم.

مراجع

- [1] Poulsen K.H., Hannington, M.D., "Volcanic-associated massive sulphide gold", in Eckstrand,

- pressure, burial history, and paleohydrology of the Les Malines Pb-Zn deposit: reconstruction from aqueous inclusions in Barite in Econ. Geol", 83(1988)784-800.*
- [14] Larson L.T., Miller J.D., Nadeau J.E., Roedder E."Two sources of error in low temperature inclusion homogenization determination, and corrections on published
- [24] Solomon M., Tornos F., Large R.R., Badham, J.N.P., Both, R.A., and Zaw, K. "Zn-Pb-Cu volcanic-hosted massive sulphide deposits: criteria for distinguishing brine pool-type from black smoker-type sulphide deposition. *Ore Geology Reviews* 25"(2004) 259–283.
- [25] Huston D.L., Large R.R." A chemical model for the concentration of gold in volcanogenic massive sulfide deposits. *Ore Geol. Rev.* 4".(1989) 171-200
- [26] Hannington M.D., Peter J.M., Scott S.D." Gold in sea – floor polymetallic sulfides: *Economic Geology*", V.81,(1867-1883).
- [27] Huston D., Large R, "Genetic and Exploration Significance of the Zinc Ratio (100 Zn/(Zn + Pb)) in Massive Sulfide Systems. *Economic Geology*", Vol. 82, (1987) 1521-1539
- [28] Huston D., Bottrill R.S., Creelman R., Khin Zaw Ramsden T., Rand S., Gemmell J.B., Bruce L., Sie S.H., Large R.R, "Geologic and Geochemical Controls on the Mineralogy and Grain Size of Gold Bearing Phases, Eastern Australian Volcanic Hosted Massive Sulfide Deposits". *Econ.Geol*,(1992)87:542-563.
- [29] Cox D, Rytuba J.J Lihir Island gold,"*Geological survey Bulletin 1643U.S.Gological survey open-file Reporrt*, (1987)87-272a.
- [30] Galley A. G., Jonasson I. R., Franklin J. M., Gibson H. L., " *Volcanogenic Massive Sulfide Deposits*", in Hedenquist, J. W., Thompson, J. F. H., Goldfarb, R. J., and Richards, J. P., eds., *Economic Geology 100th Anniversary Volume*", Littleton, CO, "Society of Economic Geologists", (2005)523-560.
- [11] Azizi H., Jahangiri A." *Cretaceous subduction-related volcanism in the northern Sanandaj-Sirjan Zone, Iran. J. Geodyn*", 45 (2008) 178–190
- [12] Azizi, H., Moinevaziri, H." *Review of the tectonic setting of Cretaceous to Quaternary volcanism in northwestern Iran. J. Geodyn*". 47(2008) 167–179.
- [13] Ramboz C, Charef A , " *Temperature, temperatures for the East Tennessee and Laisvall deposits. Economic Geology*", 68(1973) 113–116
- [15] Ullrich m. R. Bodnar R. J." *Systematics of stretching of fluid inclusions. II. Barite at one atmosphere confining pressure, Economic Geology*", 83(1988) 1037-1.
- [16] Bodnar R. J. Bethke P. M. " *Systematics of stretching of fluid inclusions. I fluorite and sphalerite at 1 atmosphere confining pressure, Economic Geology*", 79(1984) 141-161
- [17] Roedder E," *Fluid inclusions. Reviews in Mineralogy*", 12(1984) 644.
- [18] Shepherd TJ, Rankin AH, Alderton DHM, "A Practical Guide to Fluid Inclusion Studies. Blackie, Glasgow", (1985) 239.
- [19] Pisutha – Arnond, V. Ohmoto H. "Thermal history and chemical and isotopic compositions of the ore – forming fluids responsible for the Kuroko massive sulfide deposits in the Hokuroko district of Japan. *Econ. Geol., Monogr*", 5(1983) 198-223.
- [۲۰] یارمحمدی ع، راستاد ا، مجله م. شمسا م. ج، رخداد طلای باریکا، "کانه زایی تیپ ماسیوسولفید و لکانوژنیک غنی از طلا در ایران"، مجله علوم دانشگاه تهران. جلد ۳۴، شماره ۱، صفحات ۴۷-۶۰. (۱۳۸۷).
- [21] Ohmot H., Mizukami M., Drummond S.E., Eldridge, C.S., Pisutha – Arnond, V. and Lenagh, T.C. "Chemical processes of Kuroko formation. *Economic Geology, Monogr*",5(1983) 570-604
- [22] Ohmoto H. "Formation of volcanogenic massive sulfide deposits: the Kuroko perspective. *Ore geology reviews*", 10 (1996)135-177.
- [23] Eldridge C.S., Barton P. B., Jr. Ohmoto H, "Mineral textures and their bearing on formation of the Kuroko ore bodies. *Economic Geology., Monogr*".5(1983) 241-281